

САНКТ-ПЕТЕРБУРГСКИЙ ГОСУДАРСТВЕННЫЙ  
МОРСКОЙ ТЕХНИЧЕСКИЙ УНИВЕРСИТЕТ

Кафедра сопротивления материалов

# РАСЧЕТ СТЕРЖНЕВЫХ ЭЛЕМЕНТОВ СУДОВЫХ КОНСТРУКЦИЙ

Часть II

Методические указания



Санкт-Петербург  
2000

Методические указания, предназначенные для студентов Санкт-Петербургского государственного морского технического университета вечерней и заочной форм обучения, помогут им самостоятельно разобраться в решении задач. Здесь приведены примеры расчета системы при сложном сочетании нагрузок и определении перемещений в стержневых системах энергетическими методами. Материал указаний должен способствовать успешному выполнению домашних заданий, расчетно-проектировочных работ.

СИБЕРС

Михаил Николаевич

СОРОКИН

Сергей Владиславович

УСАЧЕВ

Александр Михайлович

## РАСЧЕТ СТЕРЖНЕВЫХ ЭЛЕМЕНТОВ СУДОВЫХ КОНСТРУКЦИЙ

Часть II

Методические указания

© СПбГМТУ,  
2000

Ответственный редактор канд. техн. наук, доц. К.И. Никольский  
Редактор Т.А. Канн

Подписано в печать 11.05.2000. Зак. 1509. Тираж 300. Уч.-изд. л. 3,0.  
Изд. центр СПбГМТУ, Ломоносовск. 10.

### 1. ЭНЕРГЕТИЧЕСКИЕ СПОСОБЫ ОПРЕДЕЛЕНИЯ ПЕРЕМЕЩЕНИЙ

#### 1.1. Потенциальная энергия упругой деформации стержня. Теорема Бастиньяно

В общем случае нагружения стержня в его поперечных сечениях действует шесть главных факторов: продольная сила  $N$ , крутящий момент  $M_x$ , поперечные силы  $Q_y$  и  $Q_z$  (рис. 1.1а) и изгибающие моменты  $M_y$  и  $M_z$  (рис. 1.1б). Каждый из этих главных факторов вносит свой вклад в потенциальную энергию упругой деформации элемента стержня, вычисляемую по формуле

$$dU = \frac{N^2 dx}{2EF} + \frac{Q_y^2 dx}{2GF_s} + \frac{Q_z^2 dx}{2GF_s} + \frac{M_x^2 dx}{2GI_x} + \frac{M_y^2 dx}{2EI_y} + \frac{M_z^2 dx}{2EI_z} \quad (1.1)$$

где  $E$  - модуль продольной упругости;  $G$  - модуль сдвига;  $F$  - площадь поперечного сечения стержня;  $I_x$ ,  $I_y$  - осевые моменты инерции поперечного сечения;  $I_z$  - момент инерции при кручении (материал стержня подчиняется закону Гука).

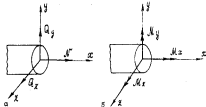


Рис. 1.1. Внутренние усилия (а) и внутренние моменты (б) в поперечном сечении

Таким образом, формула для полной потенциальной энергии упругой деформации вала стержня, который может быть составным, непрерывным, ломаным или кривым (рис.1.2), имеет вид

$$U = \frac{1}{2} \sum_{k=1}^K \int_0^{l_k} \left[ \frac{N^2}{EF} + \frac{M_x^2}{GI_x} + \frac{Q_y^2}{GJ_y} + \frac{M_z^2}{EI_z} + \frac{Q_x^2}{GF_x} + \frac{M_y^2}{EI_y} \right] dl_k, \quad (1.2)$$

где  $K$  - количество участков;  $l_k$  - их длины.



Рис.1.2. Составной стержень, имеющий криволинейный и ломаный участки равной жесткости

в случае, представленном на рис.1.3а, единственными нагрузками будут парные силы сжатия, а в случае, представленном на

Естественно, что вклад каждого из слагаемых (1.2) в общую величину  $U$  вычисляем и определяем способом нагружения стержня. Так, в

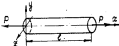


Рис.1.3а. Односторонне растяжимый цилиндрический стержень



Рис.1.3б. Стержень круглого поперечного сечения, вращающийся вокруг X моментами

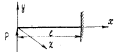


Рис.1.3в. Консольный стержень, нагруженный сосредоточенной силой, приложенной на свободном конце

рис.1.3а - трение и четвертое. Предположить, что на слагаемых в (1.2) будет болванка, в конце малейшая, можно, установить характер деформации стержня (растяжение, кручение, изгиб, попер. изгиб и т.д.).

Введем полную потенциальную энергию упругой деформации для определенной деформации в состоянии конструкции, но в основном формула (1.2) используется для формирования теоремы Кастрильяно, согласно которой частная производная от потенциальной энергии упругой деформации стержня по силе равна перемещению точки приложения силы по направлению этой силы.

Пусть на свободном конце, перемещаемом в (1.2), подействует действительно одна сила  $P$ . Заметим, что при этом  $N$ ,  $Q_y$ , ...,  $M_z$  становится функциями двух переменных: координаты  $x$ , считываемой вдоль оси стержня, и величины силы  $P$ , причем зависимость от  $P$  является линейной. Тогда формулировка теоремы Кастрильяно приобретает вид

$$\delta_P = \frac{\partial U}{\partial P}. \quad (1.3)$$

При подстановке (1.2) в (1.3) следует заметить, что интегрирование в дифференцирование выполняется по равным переменным и их можно переставить. Тогда, вынося за пределы дифференцирования слагаемые функций, получим

$$\delta_P = \sum_{k=1}^K \int_0^{l_k} \left[ \frac{N(x,P)}{EF} \frac{\partial N}{\partial P} + \frac{M_x(x,P)}{GI_x} \frac{\partial M_x}{\partial P} + \frac{N_y(x,P)}{EI_y} \frac{\partial N_y}{\partial P} \right] dx. \quad (1.4)$$

Формулу (1.4) используем для определения перемещений в стержневых конструкциях. Показем это на примерах.

**П р и м е р 1.1.1.** Определим абсолютную свободу деформаций  $\delta l$  стержня (см.рис.1.3а).

**Р е ш е н и е.** Введем рассмотренную систему координат. Также сделанную в левом торцеим сечением, выкажем, что эта деформация представляет собой переменную: сила приложения силы  $P$  на правом торце, т.е.

$$\delta l = \delta_P = \frac{\partial U}{\partial P}.$$

На месте слагаемых, представленных в (1.4), стоящими от нуля в рассмотренном случае выкажем только одно:

$N(x, P) = P$ . Соответственно  $\frac{\partial N(x, P)}{\partial P} = 1$ . Таким образом, учитывая, что стержень имеет только один участок, получим

$$\Delta l = \delta_P = \int_0^l \frac{N(x, P)}{EF} \frac{\partial N(x, P)}{\partial P} dx = \int_0^l \frac{P}{EF} 1 dx = \frac{Pl}{EF}.$$

Известно, что полученный ответ представляет собой формулировку закона Гука для плоского растянутого стержня.

Этот перемещение, вычисленное при помощи теоремы Кастляно, позволяет легко установить его направление. Если перемещение оказалось положительным (как в примере I.1.1), то его направление совпадает с направлением приложенной силы, если отрицательным, то перемещение происходит в противоположную сторону.

Другим существенным обстоятельством является то, что в формулировке теоремы Кастляно говорится об обобщенной силе и соответствующем ей обобщенном перемещении. Таким образом, используя теорему Кастляно, можно вычислять не только линейные перемещения в точках приложения сосредоточенных сил, но и, например, угловые перемещения в точках приложения моментов.

**Пример I.1.2.** Определить угол поворота концов стержня  $\Delta \varphi$  стержня круглого поперечного сечения (рис. I.1.3).

**Решение.** Введем в рассмотрение систему координат, жестко связанную с левым торцом сечения. Очевидно, что стержень подвержен чистому кручению, и угол закручивания представляет собой обобщенное перемещение точки приложения крутящего момента  $m$  на правом торце, т.е.

$$\Delta \varphi = \frac{\partial U}{\partial m} = \delta_m.$$

На месте силговых, представленных в (I.4), отличим от нуля является только одно:

$$M_x(x, m) = m, \quad \frac{\partial M_x(x, m)}{\partial m} = 1.$$

Следовательно:

$$\Delta \varphi = \delta_m = \int_0^l \frac{M_x(x, m)}{GI_p} \frac{\partial M_x(x, m)}{\partial m} dx = \int_0^l \frac{m}{GI_p} dx = \frac{ml}{GI_p}.$$

Восстановимо, что полученный ответ представляет собой формулировку закона Гука для чистого кручения круглого стержня.

При определении перемещений в случае плоского изгиба интегрированием дифференциального уравнения прогибной оси будем не учитывать перемещения от сдвига. Для того чтобы оценить допустимому при этом погрешности, рассмотрим следующий пример.

**Пример I.1.3.** Определить прогиб свободного конца консоли силой  $Q$ , нагруженной силой  $P$  (см. рис. I.1а).

**Решение.** В этом случае

$$Q = \delta_P = \frac{\partial U}{\partial P}.$$

Формула (I.4) приобретает вид

$$U = \int_0^l \left[ \frac{M_x(x, P)}{EI_x} \frac{\partial M_x(x, P)}{\partial P} + \frac{Q_y(x, P)}{CF_y} \frac{\partial Q_y(x, P)}{\partial P} \right] dx. \quad (I.5)$$

В примерах I.1.1, I.1.2 внутренние силовые факторы определялись элементарно и не вычислялись по длине стержня. В рассматриваемом примере, воспользовавшись методом сечений, получим:

$$Q_y(x, P) = P, \quad M_x(x, P) = Px.$$

Соответствующие производные имеют следующий вид:

$$\frac{\partial Q_y(x, P)}{\partial P} = 1; \quad \frac{\partial M_x(x, P)}{\partial P} = x.$$

Восстановив эти формулы в (I.5), получим:

$$\begin{aligned} Q &= \int_0^l \left[ \frac{Px}{EI_x} x + \frac{P}{CF_y} 1 \right] dx = \int_0^l \frac{Px^2}{EI_x} dx + \int_0^l \frac{P dx}{CF_y} = \\ &= \frac{Pl^3}{3EI_x} + \frac{Pl}{CF_y} = \frac{Pl^3}{3EI_x} \left( 1 + \frac{3EI_x}{CF_y l^2} \right). \end{aligned}$$

Первое слагаемое в полученной формуле представляет собой прогиб балки от нагрузки и может быть получено интегрированием дифференциального уравнения изогнутой оси. Второе слагаемое представляет собой прогиб от сдвига. Сдвиговые деформации при изгибе балки можно представить как результат скольжения поперечных сечений друг относительно друга без поворота нормалей к ним. Среднюю величину прогиба от сдвига с величиной изгибаемого переменного. Для определенности будем считать, что поперечное сечение балки — прямоугольник со

сторонами  $b$  и  $h$ .  $I_x = \frac{bh^3}{12}$ , а приведенная площадь определяется по Тимошенко:  $V_y = \frac{5}{8} bh$ . Наконец, для стали  $\frac{K}{G} = 2(1+\mu) = 2,6$ . Таким образом:

$$\frac{\Delta E I_x}{E V_y^2} = \frac{5 \cdot 2,6 \frac{bh^3}{12}}{\frac{5}{8} bh \cdot 2,6^2} = 0,76 \left( \frac{h}{l} \right)^2.$$

Поскольку точечная теория изгиба применима при  $\frac{h}{l} < 0,8$ , приходим к выводу, что прогиб от сдвига составляет менее 5% прогиба от изгиба. Поэтому в дальнейшем мы не будем учитывать прогибы от сдвига, оставим в формуле (1.4) лишь изгибные составляющие.

**Пример 1.1.4.** Определить угол поворота на левой опоре балки, представленной на рис.1.4а.

**Решение.** Имеем

$$\varphi_M = \frac{\partial U}{\partial M} = \int_0^l \frac{M_x(m, x)}{E I_x} \frac{\partial M_x(m, x)}{\partial m} dx.$$

Составим выражение для изгибающего момента  $M_x(m, x)$ . Начнем с вычисления реакций  $R_1$  и  $R_2$  (рис.1.4б). Применимо к плоскости (сумма моментов относительно точки  $A$  и  $B$ ) имеет следующий вид:

$$\sum M_A = R_2 l - m \cdot 0 = 0 \rightarrow R_2 = m/l;$$

$$\sum M_B = R_1 l - m \cdot 0 = 0 \rightarrow R_1 = m/l.$$

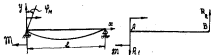


Рис.1.4а. Свободно опертая балка, нагруженная на всей длине равномерно

Рис.1.4б. Определенные реакции  $R_1$  и  $R_2$

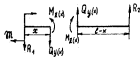


Рис.1.4в. Определение внутренних сил методом сечений

Балка имеет только один участок и в соответствии с методом сечений (рис.1.4в)

$$M_x(m, x) = m \cdot \frac{mx}{l}.$$

Следовательно:

$$\frac{\partial M_x(m, x)}{\partial m} = 1 - \frac{x}{l}$$

$$\begin{aligned} \varphi_M &= \int_0^l \frac{1}{E I_x} \left( m - \frac{mx}{l} \right) \left( 1 - \frac{x}{l} \right) dx = \frac{m}{E I_x} \int_0^l \left( 1 - \frac{x}{l} \right)^2 dx = \\ &= \frac{m}{E I_x} \left[ x - \frac{x^2}{l} + \frac{x^3}{3l} \right] \Big|_0^l = \frac{ml}{3E I_x}. \end{aligned}$$

**Пример 1.1.5.** Определить прогиб свободного конца балки, представленной на рис.1.5.

**Решение.** Для того чтобы избежать ошибок при решении этой задачи, нужно помнить, что производная должна вычисляться по силе, приложенной в точке, перемещению кото-

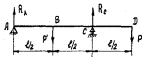


Рис. 1.5. Схема нагружения

рой действует сосредоточенная. Поэтому силу, приложенную в точке В, обозначим  $P'$ , в отличие от силы, приложенной в точке D. Определим реакции опор, составив уравнения моментов относительно опор А и В:

$$\sum M_A = -P' \frac{l}{2} + R_A l - P \frac{3l}{2} = 0 \rightarrow R_A = \frac{P'}{2} + \frac{3P}{2};$$

$$\sum M_C = R_A l + \frac{Pl}{2} - \frac{P'l}{2} = 0 \rightarrow R_A = -\frac{P}{2} - \frac{P'}{2}.$$

Если всего можно представить в виде системы уравнений для искомого момента и его производной по участкам (табл. 1).

Таблица 1

Участок	$M_x(x, P, P')$	$\frac{\partial M_x(x, P, P')}{\partial P}$
$0 \leq x \leq l/2$	$M_x(x, P, P') = \left(-\frac{P}{2} + \frac{P'}{2}\right)x$	$\frac{\partial M_x(x, P, P')}{\partial P} = -\frac{x}{2}$
$\frac{l}{2} \leq x \leq l$	$M_x(x, P, P') = R_A x - P' \left(x - \frac{l}{2}\right) = -\frac{P}{2}x - \frac{P'}{2}x + \frac{Pl}{2}$	$\frac{\partial M_x(x, P, P')}{\partial P} = -\frac{x}{2}$
$l \leq x \leq \frac{3l}{2}$	$M_x(x, P, P') = R_A x - P' \left(x - l/2\right) + R_C \left(x - l\right) = -P \left(\frac{3l}{2} - x\right)$	$\frac{\partial M_x(x, P, P')}{\partial P} = x - \frac{3l}{2}$

Таким образом:

$$E_D = \frac{\partial U}{\partial P} = \frac{1}{EI_x} \left\{ \int_0^{l/2} \left(-\frac{P}{2} + \frac{P'}{2}\right)x \left(-\frac{x}{2}\right) dx + \int_{l/2}^l \left(-\frac{P}{2}x - \frac{P'}{2}x + \frac{Pl}{2}\right) \left(-\frac{x}{2}\right) dx + \int_l^{3l/2} P \left(x - \frac{3l}{2}\right) \left(x - \frac{3l}{2}\right) dx \right\}.$$

При вычислении интеграла нужно использовать, что  $P = P'$  в

$$E_D = \frac{1}{EI_x} \left\{ \int_0^{l/2} \left(Px - \frac{Pl}{2}\right) \frac{x}{2} dx + \int_{l/2}^l P \left(x - \frac{3l}{2}\right)^2 dx \right\} = \frac{1}{EI_x} \left\{ \left(\frac{Px^2}{2} - \frac{Plx^2}{2}\right) \Big|_0^{l/2} + \left(\frac{Px^3}{3} - \frac{3Plx^2}{2} + \frac{3Pl^2x}{2}\right) \Big|_{l/2}^l \right\} = \frac{Pl^3}{32EI_x}.$$

Во всех представленных выше примерах определены перемещения прямого стержня постоянного поперечного сечения. Как известно, перемещения таких конструкций можно определять и другими способами, названными в курсе. Однако возможность применения теории Кастельяно заслуживает упоминания. В частности, ее использование весьма эффективно при расчете деформаций арки стержня.

**Пример 1.1.6.** Определить горизонтальное перемещение свободного конца полусферической арки, представленной на рис. 1.6а.

**Решение.** Энергетические соображения, вместе с основными формулами теории Кастельяно, составят определяемые безразлично в форме стержня, в то время как дифференциальные уравнения метода прямого стержня от уравнения кривизны прямого стержня. В примере 1.1.5 дано уравнение



Рис. 1.6а. Полусферическая арка



Рис. 1.6б. Определение внутренних силовых факторов в арке методом сечений

лено, что при изгибе допускаются преобразованием деформации суммарное перемещение поперечной силой. То же относится и к продольной силе, поэтому мы с этого момента ограничимся учетом только изгиба момента. Составим выражение для внутренних силых факторов (рис. 1.66):

$$N(\varphi, P) = P \sin \varphi; \quad Q_y(\varphi, P) = P \cos \varphi; \quad M_x(\varphi, P) = Pr \sin \varphi.$$

В полярных координатах  $dx = r d\varphi$ , а формула (1.4) принимает вид

$$\begin{aligned} \delta_p &= \int_0^x \frac{M_x(R, \varphi)}{EI_x} \frac{\partial M_x(R, \varphi)}{\partial P} r d\varphi = \int_0^x \frac{Pr \sin \varphi}{EI_x} r \sin \varphi r d\varphi = \\ &= \frac{Pr^3}{EI_x} \int_0^x \sin^2 \varphi d\varphi = \frac{x}{2} \frac{Pr^3}{EI_x}. \end{aligned}$$

### 1.2. Определение перемещений точек, в которых не приложены внешние силы

Определение перемещений при помощи теоремы Кастильяно, как можно было убедиться на примерах параграфа 1.1, обходится тем очевидным недостатком, что дает возможность находить перемещения только точек приложения внешних сил и только в направлении этих сил. На практике возникает необходимость определять перемещения любых точек конструкции и в любом направлении. Для того в точке, где нужно найти перемещение, представляется "фиктивная" разрывная сила  $\Phi$  так же, как направление искомого перемещения. Попробим это на простейшем уже рассмотренном нами примере 1.1.3. Пусть теперь нужно найти прогиб  $\delta_p$  непосредственно балки (рис. 1.7). Преложим себе, что в этой точке правления вектора силы  $\Phi$  так, как показано на рис. 1.7. Величина ее может быть произвольной. Составим в соответствии с методом сечений формулы для изгибающего момента, получим:

$$0 \leq x \leq l/2 : M_x(x, P, \Phi) = Px;$$

$$l/2 \leq x \leq l : M_x(x, P, \Phi) = Px - \Phi(x - l/2).$$

Очевидно, что изгибающий момент  $M_x$  оказывается функцией не только координаты  $x$  и величины силы  $P$ , но и величины силы  $\Phi$ . Воспользуемся теоремой Кастильяно для определения  $\delta_p$ :

$$\delta_p = \frac{\partial U}{\partial \Phi} = \int_0^l \frac{M_x(x, P, \Phi)}{EI_x} \frac{\partial M_x(x, P, \Phi)}{\partial \Phi} dx.$$

при  $0 \leq x \leq l/2$   $\frac{\partial M_x(x, P, \Phi)}{\partial \Phi} = 0$ , а при  $l/2 \leq x \leq l$   $\frac{\partial M_x(x, P, \Phi)}{\partial \Phi} = -(x - l/2)$ . Тогда

$$\delta_p(P, \Phi) = \int_0^{l/2} \frac{Px}{EI_x} 0 dx + \int_{l/2}^l \frac{Px - \Phi(x - l/2)}{EI_x} [-(x - l/2)] dx.$$

Но, что для любой силы внешней  $P$  и  $\Phi$  эта формула дает значение прогиба непосредственно балки. Нам интересен случай, когда  $\Phi = 0$ , поэтому

$$\delta_p = - \int_{l/2}^l \frac{Px(x - l/2)}{EI_x} dx = - \frac{4Pl^3}{48EI_x}.$$

Важно отметить в полученной формуле свидетельствует о том, что точка перемещается в направлении, противоположном выбранному для силы  $\Phi$ , изображенной на рис. 1.7.



Рис. 1.7. Определение перемещения при помощи фиктивной силы

Таким образом, становится очевидным "рецепт" определения перемещения в любой точке конструкции (запомним, что из него как частный случай следует непосредственное применение теоремы Кастильяно).

1. В той точке, где требуется определить обобщенное перемещение, по его направлению прикладывается фиктивная обобщенная сила.

2. Составляются формулы для внутренних силых факторов с учетом фиктивной силы на всех участках, на которых состоит конструкция.

3. Вычисляются произведения внутренних силых факторов по фиктивной силе.

4. Вычисляются интегралы (1.4), когда фиктивная сила равна нулю.

**Пример 1.2.1.** Определить прогиб поперечной пружины  $\delta_B$  балки, представляемой на рис.1.8.

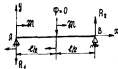


Рис.1.8. Определение перемещения при помощи функции силы (в примере 1.2.1)

**Решение.** Вспомогательная прогибная линия  $\Phi$ . Для того чтобы составить формулы для кривоугольного момента и его производной, найдем реакцию опор с учетом силы  $\Phi$ . Для этого составим уравнение моментов относительно точек

$$\sum M_A = -m \cdot m - \Phi \cdot l/2 + R_2 \cdot l = 0 \rightarrow R_2 = \frac{2m}{l} + \frac{\Phi}{2}$$

$$\sum M_B = -m \cdot m + \Phi \cdot l/2 + R_1 \cdot l = 0 \rightarrow R_1 = \frac{2m}{l} - \frac{\Phi}{2}$$

После этого составим выражение для кривоугольного момента в его произвольной по участку (табл.2).

Таблица 2

Участок	$M_x(x, m, \Phi)$	$\frac{\partial M_x(x, m, \Phi)}{\partial \Phi}$
$0 \leq x \leq l/2$	$M_x(x, m, \Phi) = -R_1 x + m x = -m \left(1 - \frac{2x}{l}\right) + \frac{\Phi x}{2}$	$\frac{\partial M_x(x, m, \Phi)}{\partial \Phi} = \frac{x}{2}$
$l/2 \leq x \leq l$	$M_x(x, m, \Phi) = -R_1 x + m x + m - \Phi(x-l)/2 = 2m \left(1 - \frac{x}{l}\right) - \Phi \left(\frac{x}{2} - l\right)$	$\frac{\partial M_x(x, m, \Phi)}{\partial \Phi} = -\frac{x-l}{2}$

Вычисляя интеграл (1.4), положим  $\Phi = 0$ :

$$\delta_B = \frac{1}{EI_x} \left[ \int_0^{l/2} m \left(1 - \frac{2x}{l}\right) \frac{x}{2} dx + \int_{l/2}^l \left[ 2m \left(1 - \frac{x}{l}\right) \right] \frac{x-l}{2} dx \right] =$$

$$= \frac{m}{EI_x} \left( \frac{x^3}{6} \Big|_0^{l/2} - \frac{2x^3}{3l} \Big|_0^{l/2} + \left( x \left( \frac{l}{2} - \frac{x}{l} \right) \Big|_{l/2}^l + \frac{x^3}{3l} \Big|_{l/2}^l \right) \right) = \frac{m l^3}{48 EI_x}$$

**Пример 1.2.2.** Определить угол поворота свободного конца крайнего стержня, представляемого на рис.1.9.

**Решение.** Примем за свободное конце момент  $\Phi$  и составим формулы для кривоугольного момента и его производной по участку (табл.3).



Рис.1.9. Определение угла поворота при помощи функции кривоугольного момента

Таблица 3

Участок	$M_x(\varphi, \Phi, P)$	$\frac{\partial M_x(\varphi, \Phi, P)}{\partial \Phi}$
$0 < \varphi_1 < \frac{\pi}{2}$	$M_x(\varphi_1, \Phi, P) = \Phi - P r \sin \varphi_1$	$\frac{\partial M_x(\varphi_1, \Phi, P)}{\partial \Phi} = 1$
$0 < \varphi_2 < \frac{\pi}{2}$	$M_x(\varphi_2, \Phi, P) = \Phi + P \left[ r - r \cos(\varphi_2) \right]$	$\frac{\partial M_x(\varphi_2, \Phi, P)}{\partial \Phi} = 1$

Вычисляя интеграл (1.4), положим  $\Phi = 0$ :

$$\theta_B = \int_0^{\pi/2} \frac{P r \sin \varphi_1}{EI_x} (r d\varphi_1) + \int_0^{\pi/2} \frac{P (r - r \cos \varphi_2)}{EI_x} (r d\varphi_2) = \frac{P r^2}{EI_x} \left[ \frac{x}{2} \Big|_0^{\pi/2} + \frac{x}{2} \Big|_0^{\pi/2} \right] = \frac{P r^2}{EI_x} \left[ \frac{\pi}{4} + \frac{\pi}{4} \right] = \frac{P r^2 \pi}{2 EI_x}$$

**Пример 1.2.3.** Определить горизонтальное перемещение точки A (рис.1.10).

**Решение.** Примем в точке A фиктивную силу  $\Phi$  и определим реакции опор с учетом ее действия. Для этого составим три уравнения равновесия:



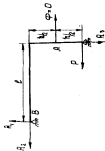


Рис. 1.10а. Определение перемещений точек А при помощи метода виртуальных сил (в соответствии 1.2.3)

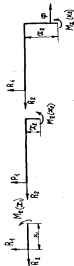


Рис. 1.10б. Выделение виртуальных усилий для вычисления  $M_x(x_1)$  и  $M_x(x_2)$

$$\sum M_B = \Phi - \frac{h}{l} P h - R_3 l = 0 \rightarrow R_3 = \frac{h}{l} \left( \frac{\Phi}{h} - P \right);$$

$$\sum X_A = \Phi - R_3 - P = 0 \rightarrow R_3 = \Phi - P;$$

$$\sum X_B = R_3 - R_3' = 0 \rightarrow R_3' = \frac{h}{l} \left( \frac{\Phi}{h} - P \right).$$

Теперь составим уравнения для виртуального момента в его приложениях (рис. 1.10б) по участкам (табл. 4).

Таблица 4

Участок	$M_x(x, P, \Phi)$	$\frac{\partial M_x(x, P, \Phi)}{\partial P}$
$0 \leq x_1 \leq l$	$M_x(x_1, P, \Phi) = R_3 x_1 =$ $= \frac{h}{l} \left( \frac{\Phi}{h} - P \right) x_1$	$\frac{\partial M_x(x_1, P, \Phi)}{\partial P} =$ $= \frac{x_1 h}{l}$
$0 \leq x_2 \leq h/2$	$M_x(x_2, P, \Phi) = R_1 l - R_2 x_2 =$ $= \frac{h}{2} \left( \frac{\Phi}{h} - P \right) l - \left( \Phi - P \right) x_2$	$\frac{\partial M_x(x_2, P, \Phi)}{\partial P} =$ $= \frac{h}{2} - x_2$
$\frac{h}{2} \leq x_2 \leq h$	$M_x(x_2, P, \Phi) = R_1 l - R_2 x_2 +$ $+ \Phi \left( x_2 - \frac{h}{2} \right) - P \left( h - x_2 \right)$	$\frac{\partial M_x(x_2, P, \Phi)}{\partial P} = 0$

Формулы для определения перемещений  $\delta_A$  примет вид

$$\delta_A = \frac{1}{EI_2} \left\{ \int_0^l \left( -\frac{Phx_1}{l} \right) \frac{hx_1}{l} dx_1 + \int_0^{h/2} \left( -Ph + Px_2 \right) \left( \frac{h}{2} - x_2 \right) dx_2 + \int_{h/2}^h \left[ -P \left( h - x_2 \right) \right] 0 dx_2 =$$

$$= \frac{1}{EI_2} \left\{ -\left( \frac{h}{l} \right)^2 \frac{P}{2} \int_0^l x_1^2 dx_1 - \frac{h^2}{2} P \int_0^{h/2} dx_2 + \frac{3Ph}{2} \int_0^{h/2} x_2 dx_2 - P \int_0^{h/2} x_2^2 dx_2 \right\} =$$

$$= \frac{1}{EI_2} \left\{ -\frac{Ph^3}{24} - \frac{Ph^3}{24} + \frac{3Ph^3}{24} - \frac{Ph^3}{24} \right\} = \frac{Ph^3}{48EI_2} \left( 2 \frac{l}{h} + 1 \right).$$

Перемещение получаемое со знаком минус. Это означает, что точка А под действием силы Р перемещается в направлении, противоположном выбранному из рис.1.10а для силы Ф.

### 1.3. Интеграл Мора

Обратимся еще раз к определению перемещений точек, в которых на приложении внешних обобщенных сил. Мы установили, что

$$\delta_{\Phi} = \int_{(L)} \frac{M_x(P, \Phi, x)}{EI_x} \frac{\partial M_x(P, \Phi, x)}{\partial \Phi} dx.$$

В соответствии с принципом взаимности действия сил можно написать

$$M_x(P, \Phi, x) = M_x(P, x) + M_x(\Phi, x),$$

где  $M_x(P, x)$  — момент от действия всех внешних обобщенных сил, приложенных к конструкции;  $M_x(\Phi, x)$  — момент от единичной обобщенной силы. В свою очередь момент единичной силы пропорционален ее величине:

$$M_x(\Phi, x) = M_{x1}(x)\Phi.$$

Физический смысл функции  $M_{x1}(x)$  очевиден: если загружать конструкцию в той точке, где требуется найти перемещение, только единичной силой, то эта функция будет иметь значение искомого момента от действия силы во всех сечениях конструкции.

Таким образом, мы получаем

$$M_x(P, \Phi, x) = M_x(P, x) + M_{x1}(x)\Phi.$$

Соответственно:

$$\frac{\partial M_x(P, \Phi, x)}{\partial \Phi} = M_{x1}(x)$$

при всех значениях силы Ф, в том числе и при Ф = 0. В этом последнем случае имеем

$$\delta_{\Phi} = \int_{(L)} \frac{M_x(P, x) M_{x1}(x)}{EI_x} dx.$$

Полученная формула представляет собой интеграл Мора, введенный для учета только энергии деформации изгиба в одной из главных плоскостей инерции. При необходимости учесть остальные пять основных факторов ( $M$ ,  $Q_x$ ,  $Q_y$ ,  $M_{xy}$ ,  $M_{yz}$ ) эта формула дополняется соответствующими слагаемыми, структура и способ выноса которых идентичны вынесенным.

Мы ограничимся учетом только энергии деформации изгиба. Порядок использования интеграла Мора состоит в следующем.

1. В той точке, где требуется определить обобщенное перемещение, по его направлению прикладывается единичная обобщенная сила.
2. Составляются формулы для внутренних силовых факторов от действия только единичной обобщенной силы на всех участках, на которых состоит конструкция.
3. Составляются формулы для внутренних силовых факторов от действия всех внешних сил, приложенных к конструкции на каждом ее участке.
4. Вычисляются интегралы (1.5).

Фактически использованные интегралы Мора предусматривают решение двух задач: расчет "грубого" состояния конструкции (под действием всех внешних сил) и расчет конструкции при нагружении единичной силой. Порядок это на простейшем уже дважды рассмотренном нами примере 1.1.5. Пусть нужно найти прогиб  $\delta_B$  посередине балки (см. рис.1.7), используем интеграл Мора. Рассмотрим "грубого" состояние (рис.1.11а), получим

$$\text{Рис. 1.11: } M_x(P, x) = Px.$$



Рис.1.11. "Грубого" состояние (а) и нагружение единичной силой (б)

При нагружении единичной силой (рис. 1.12б)

$$\begin{aligned} 0 \leq x \leq \ell/2: & \quad M_{x_1}(x) = 0; \\ \ell/2 \leq x \leq \ell: & \quad M_{x_2}(x) = 1(x - \ell/2). \end{aligned}$$

Подставляя эти формулы в интеграл Мора (1.5), получим:

$$\delta_B = \frac{1}{EI_x} \left[ \int_0^{\ell/2} \rho_{x_1} \, dx + \int_{\ell/2}^{\ell} \rho_{x_2} \, dx \right] = \frac{6Pl^3}{48EI_x}.$$

**Пример 1.3.1.** Определить при помощи интеграла Мора прогиб балки, представленной на рис. 1.12а, в точке А. Поперечное сечение представляет собой двутавр № 27,  $\ell = 3$  м,  $q = 10$  кН/м, материал балки - сталь,  $E = 2 \cdot 10^5$  МПа.



Рис. 1.12. "Грузовое" состояние (а) и нагружение единичной силой (б) (в примере 1.3.1)

**Решение.** Чтобы избежать арithметичеcких ошибок, выполним расчеты в общем виде, подставив заданные числовые значения в окончательную формулу для  $\delta_A$ . Вспомогательную балку, нагруженную только единичной силой в точке А (рис. 1.12б). Составляем уравнения равновесия, определяем реакции:

$$\sum M_A = 1 \cdot \ell - R_C^2 \ell = 0 \quad \rightarrow \quad R_C^2 = 1;$$

$$\sum M_C = 1 \cdot 2\ell - R_B^1 \ell = 0 \quad \rightarrow \quad R_B^1 = 2.$$

Выражения для изгибающего момента от действия единичной силы по участкам представлены в табл. 5. Обратимся к расчету "грузового" состояния (рис. 1.12а). Реакции в этом состоянии найдем из уравнений

$$\sum M_A = \frac{q\ell^2}{4} - \frac{q\ell^2}{4} + R_B^5 \ell = 0 \quad \rightarrow \quad R_B^5 = \frac{q\ell}{4};$$

$$\sum M_C = \frac{q\ell^2}{4} + \frac{q\ell^2}{4} - R_B^4 \ell = 0 \quad \rightarrow \quad R_B^4 = \frac{3q\ell}{4}.$$

Выражения для изгибающего момента в "грузовом" состоянии по участкам представлены в табл. 5.

Таблица 5

Участок	$M_x(P, x)$	$M_{x_1}(x)$
$0 \leq x \leq \ell$	$M_x(P, x) = -\frac{q\ell^2}{4}$	$M_{x_1}(x) = -1 \cdot x$
$\ell/2 \leq x \leq 2\ell$	$M_x(P, x) = -\frac{q\ell^2}{4} + R_B^4(x - \ell) - \frac{q(x - \ell)^2}{2} = -\frac{q\ell^2}{4} + \frac{3q\ell(x - \ell)}{4} - \frac{q(x - \ell)^2}{2}$	$M_{x_2}(x) = -1 \cdot x + 2(x - \ell)$

Подставляя эти формулы в интеграл Мора (1.5), получим

$$\begin{aligned} \delta_A = \frac{1}{EI_x} & \left\{ \int_0^{\ell} \left( -\frac{q\ell^2}{4} \right) (-1 \cdot x) dx + \int_{\ell/2}^{2\ell} \left[ -\frac{q\ell^2}{4} + \frac{3q\ell(x - \ell)}{4} - \frac{q(x - \ell)^2}{2} \right] [-1 \cdot x + 2(x - \ell)] dx \right\} = \\ & = \frac{1}{EI_x} \left\{ \frac{q\ell^2}{4} \int_0^{\ell} x dx - \frac{q\ell}{4} \int_{\ell/2}^{2\ell} (2\ell - x)^2 dx + \right. \\ & \left. + \frac{q}{2} \int_{\ell/2}^{2\ell} (2\ell - x)^3 dx \right\} = \frac{1}{EI_x} \left[ \frac{q\ell^3}{8} - \frac{q\ell^3}{12} + \frac{q\ell^3}{8} \right] = \frac{q\ell^3}{6EI_x}. \end{aligned}$$

Теперь воспользуемся заданными числовыми значениями (из сортамента  $I_x = 5010$  см<sup>4</sup>), получим

$$\delta_A = \frac{10 \cdot 10^3 \frac{H}{m} \cdot 81 \text{ м}^3}{6 \cdot 2 \cdot 10^5 \frac{H}{m} \cdot 5010 \cdot 10^{-8} \text{ м}^4} = 42,5, 10^{-2} \text{ м} = 4,25 \text{ см}.$$

**Пример 1.3.2.** Определить при помощи интеграла Мора угол свободного конца цилиндрической, изображенной на рис. 1.13а, трубы  $P = 1,5$  кН,  $\ell = 3$  м,  $r = 2$  см. На предположимом участке поперечное сечение представляет собой трубу с внешним диаметром  $D = 8$  см и внутренним  $d = 6$  см. На предположимом участке поперечное сечение - круг  $d = 6$  см. Материал цилиндрика - сталь,  $E = 2 \cdot 10^5$  МПа.

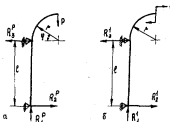


Рис. 1.13. "Грузовое" состояние (а) и нагружение единичным моментом (б) (в примере 1.3.2)

**Решение.** Рассмотрим оболочку, нагруженную только единичным моментом в точке А (рис. 1.13б). Реакции опор, очевидно, будут

$$R_1^1 = 0; \quad R_2^1 = R_3^1 = \frac{1}{l}.$$

Выражение для изгибающего момента от действия единичного момента по участку продольным в табл. 6.

Рассмотрим "грузовое" состояние, в этом случае реакции опор будут иметь вид

$$R_1^P = P; \quad R_2^P = R_3^P = \frac{Pr}{l}.$$

Выражение для изгибающего момента в "грузовом" состоянии по участку также представлено в табл. 6.

Таблица 6

Грузовик	$M_z(P, x)$	$M_{z1}(x)$
$0 \leq x \leq l$	$M_z(P, x) = R_2^P x = \frac{Pr}{l} x$	$M_{z1}(x) = R_2^1 x = \frac{x}{l}$
$0 \leq \varphi \leq \frac{\pi}{2}$	$M_z(P, \varphi) = Pr \sin \varphi$	$M_{z1}(\varphi) = 1$

Используя двойные интегралы Мора (1.5), получим

$$\theta_A = \frac{1}{EI_2} \int_0^l \frac{Dr}{l} x \frac{x}{l} dx + \frac{1}{EI_2} \int_0^{\pi/2} Pr \sin \varphi \cdot r d\varphi = \frac{Pr l}{3EI_1} + \frac{Pr^2}{EI_2}.$$

Чтобы получить численное значение  $\theta_A$ , нужно определить  $I_1$  и  $I_2$ .

Для круглого поперечного сечения

$$I_1 = \frac{\pi D^4}{64} \left[ 1 - \left( \frac{d}{D} \right)^4 \right] = 137 \text{ см}^4.$$

Для круглого поперечного сечения

$$I_2 = \frac{\pi D^4}{64} = 64 \text{ см}^4.$$

Таким образом:

$$\theta_A = \frac{Pr l}{EI_2} \left( 1 + \frac{l}{3} \frac{I_2}{I_1} \right) = \frac{15 \cdot 10^3 \text{ Н} \cdot 4 \text{ м}}{2 \cdot 10^8 \frac{\text{Н}}{\text{м}^2} \cdot 64 \cdot 10^{-8} \text{ м}^4} \left( 1 + \frac{1}{3} \frac{3 \text{ м}}{4 \text{ м}} \frac{64 \text{ см}^4}{137 \text{ см}^4} \right) = \frac{6}{128} \left( 1 + \frac{32}{137} \right) = 0,058 \text{ рад} = 3,35^\circ.$$

**Пример 1.3.3.** Определить при помощи интеграла Мора угловое перемещение концов разрезанного кольца (рис. 1.14).

**Решение.** В "грузовом" состоянии для изгибающего момента в любом поперечном сечении имеют вид

$$M_z(P, \varphi) = Pr \sin \varphi.$$

Загружен кольцо единичной силой сдвигом в центре ее окол

$P$ , и выражение для изгибающего момента будет иметь вид

$$M_{z1}(\varphi) = 1 \cos \varphi.$$

В результате получим

$$\theta_P = \frac{1}{EI_2} \int_0^{2\pi} Pr \sin \varphi \cdot r^2 \sin \varphi d\varphi = \frac{Pr^3}{EI_2} \int_0^{2\pi} \sin^2 \varphi d\varphi = \frac{\pi Pr^3}{EI_2}.$$

Полное соответствие этот результат с результатом в примере 1.1.6. Поскольку в примере 1.1.6 рассмотрен кольцом



Рис. 1.14. "Грузовое" состояние (в примере 1.3.3)

28  
 коллар, величина полученного тем порывом в два раза меньше, чем в рассмотренном выше примере.

#### 1.4. Способ Верещагина

В примерах, представленных в параграфе 1.3, довольно трудоемкой операцией было вычисление определенных интегралов. Конечно, использование современной вычислительной техники в видеобразных стандартных программах вычисления интегралов позволило полностью автоматизировать эту процедуру. Тем не менее до сих пор не потерял актуальности графоаналитический способ вычисления интеграла Мора, предложенный в 1926 г. студентом Московского института инженеров транспорта А.К.Верещагиным. Этот способ пригоден для вычисления интеграла по произвольному отрезку продолжения дуги функции, одна из которых является линейной.

Суть способа состоит в том, что для вычисления интеграла

$$\int_a^b f_1(x)f_2(x)dx,$$

где одна из функций, скажем,  $f_2(x)$ , является линейной ( $f_2(x) = px + q$ ), достаточно взять площадь фигуры, ограниченной отрезком прямой  $x = a$ ,  $y = 0$ ,  $x = b$  и кривой  $y = f_1(x)$ , а также абсциссу центра тяжести этой фигуры  $x_1^c$  (рис.1.15). Тогда

$$\int_a^b f_1(x)f_2(x)dx = Q_1 f_2(x_1^c). \quad (1.5)$$

Практическая ценность этого способа состоит в том, что в интеграле Мора при определении перемещений в узлах конструкции одна из сомножителей (функция  $M_{12}(x)$ ) всегда является линейной функцией, а интеграл от "грузового" момента  $M_1(P, x)$  вычисляется достаточно просто. Таким образом, оказывается, что графоаналитическое вычисление интеграла Мора более целесообразно, чем чисто аналитическое.

Пример 1.4.1. Определить способом Верещагина прогиб на конце консольной балки (рис.1.16а).

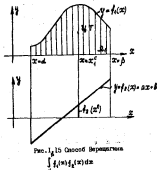


Рис.1.15. Способ Верещагина

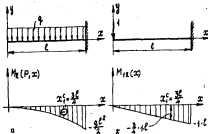


Рис.1.16. "Грузовое" состояние (а) и нагружение единичной силой (б) (к примеру 1.4.1)

**Решение.** Площадь кривы изгибающих моментов  $M_x(x, P)$  от действия внешней нагрузки  $q$  на рассматриваемом участке вычисляется по формуле  $\Omega_1 = \frac{1}{2} l \left( -\frac{q l^2}{2} \right) = -\frac{q l^3}{4}$  (параболический треугольник). Центр тяжести параболического треугольника находится на расстоянии  $\frac{3}{4} l$  от его вершины, т.е.  $x_1^C = \frac{3}{4} l$ .

На рис. 1.17б представлена схема нагружения балки единичной силой в криве моментов от действия этой силы  $M_{12}(x)$ , которая является линейной. Величина ординаты  $f_2(x_1^C)$  вычисляется так:

$$f_2(x_1^C) = M_{12}(x_1^C) = -\frac{2}{3} + l.$$

Тогда искомый прогиб

$$\delta_A = \frac{1}{EI_2} \left( -\frac{q l^3}{6} \right) \left( \frac{3}{4} l + l \right) = -\frac{q l^4}{8EI_2}.$$

**Пример 1.4.2.** Определить способом Верещагина прогиб балки (рис. 1.17в) в точке А.

**Решение.** На рис. 1.17в левая часть балки нагружена кривой моментов в "грузовом" основании балки. На рис. 1.17б показана нагружение балки единичной силой в криве изгибающих моментов от ее действия.

Поскольку на свободных участках момент  $M_{12}(x)$  тождественно равен нулю, интеграл Жора на этих участках тоже равен нулю. В пролете обе функции являются линейными. Однако

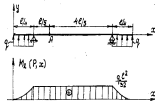


Рис. 1.17а. "Грузовое" основание

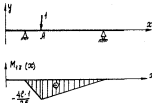


Рис. 1.17б. Нагружение единичной силой

обе функции  $M_{12}(P, x)$  непрерывны, то функции  $M_{12}(x)$  имеют единую производную в точке А. Если в качестве функции  $f_1(x)$  (см. формулу (1.6)) взять  $M_{12}(x)$ , то можно выделить интеграл Жора в виде одного слагаемого. Если же в качестве  $f_1(x)$  взять  $M_x(P, x)$ , то использовать способ Верещагина нужно на двух участках (слева и справа от точки А) по отдельности. Дело в том, что условием применимости способа Верещагина является непрерывность функции  $f_2(x)$  вместе со своей производной на всем интервале интегрирования.

В данном случае удобнее принять

$$f_1(x) = M_{12}(x), \quad f_2(x) = M_x(P, x).$$

Тогда

$$\Omega_1 = -\frac{1}{2} l \frac{ql \cdot l}{25} = -\frac{q l^3}{50},$$

$$f_2(x) = M_x(P, x) = \frac{q l^2}{25} l$$

во всех точках пролета.

В результате подстановки в (1.6) получим:

$$\delta_A = \frac{1}{EI_2} \Omega_1 f_2(x_1^C) = \frac{1}{EI_2} \frac{q l^3}{50} \left( \frac{q l^2}{25} \right) = -\frac{q l^5}{4500 EI_2}.$$

Этот метод свидетельствует о том, что параметрами производной в направлении, противоположном выбранному для единичной силы на рис. 1.17б.

Можно не прикладывать такие ординаты как  $M_{0x}(x)$  и  $M_{0z}(P, x)$ , а лишь следить за тем, по какой или по каким сторонам от оси балки эти кривые расположены. В первом случае прогиб балки будет положительным, во втором — отрицательным. Это особенно удобно при рассмотрении рам, состоящих из прямолинейных участков.

**Пример 1.4.3.** Определить горизонтальное перемещение точки А рамы (рис. 1.18а), если  $q = 1,0$  кН/м,  $l = 2$  м,  $H = 3$  м,  $E = 2 \cdot 10^4$  МПа, шарнирное соединение рамы жестко и представляет собой прямоугольник с  $b = 6$  см,  $h = 8$  см.

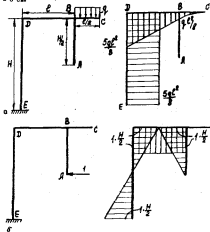


Рис. 1.18. "Грузовое" состояние (а) и нагружение единичной силой (б) (в примере 1.4.3)

**Решение.** На рис. 1.18а построена кривая изгибаемых моментов в "грузовом" состоянии рамы, а на рис. 1.18б — кривая нагружения рамы единичной силой в точке изгибаемых моментов от ее действия. Обе кривые построены по осям координат.

Очевидно, что на участках АВ и ВС катетам Мора равны нулю. На участках ВД и ДЕ кривые функций  $(M_{0x}(x))$  и  $(M_{0z}(P, x))$  можно выбрать в качестве  $f_1(x)$ , так как обе линейны (см. (1.6)). На участке ВД легче все  $f_1(x)$  принять  $M_{0z}(x)$ , так как площадь  $\Omega_1$  и абсциссу центра тяжести  $x_1^c$  для прямоугольника определить проще, чем для треугольника. На участке ДЕ проще в качестве  $f_1(x)$  выбрать  $M_{0z}(P, x)$ , поскольку значение функции  $f_1(x)$  в центре тяжести  $x_1^c = \frac{H}{2}$  равно нулю:

$$f_2(x_1^c) = M_{0z}\left(\frac{H}{2}\right) = 0.$$

Таким образом, получаем

$$\delta_A = \frac{1}{EI_2} \left[ \frac{3}{8} ql^3 l + \frac{H}{2} \cdot \frac{3ql^2 H}{8EI_2} \right].$$

Здесь учтено, что площадь  $\Omega_1$  кривы  $M_{0z}(x)$  на участке ВД равна  $l \cdot \frac{ql^2}{2}$ , ее центр тяжести лежит посередине пролета  $x_1^c = \frac{l}{2}$ , а  $f_2(x_1^c) = M_{0z}(P, \frac{l}{2}) = \frac{1}{2} \left( \frac{3ql^2}{8} + \frac{ql^2}{8} \right) = \frac{3ql^2}{8}$ .

Момент инерции прямоугольника, как известно, равен:  $I_2 = \frac{bh^3}{12}$ . Тогда, подставляя численные значения, имеем

$$\delta_A = \frac{3 \cdot 10 \cdot 10^3 \frac{H}{2} \cdot 2m^3 \cdot 3m}{10 \cdot 2 \cdot 10^4 \frac{H}{m^2} \cdot \frac{6 \cdot 8^3}{12} \cdot 10^{-8} m^4} = \frac{9}{98 \cdot 64} m = 0,18 \text{ см}.$$

**Пример 1.4.4.** Определить вертикальное перемещение точки А рамы (рис. 1.19).

**Решение.** Для того чтобы построить кривую изгибаемых моментов в каждой из состояний, представленных на рис. 1.19, нужно определить реакции опор.

В "грузовом" состоянии

$$\sum M_D = -Hl + R_1 \cdot 2a = 0 \rightarrow R_1 = \frac{Hl}{2a}.$$

Удлинения разрезов и прогибы по горизонтальной и вертикальной оси даю

$$R_2^m = R_1^m = \frac{m}{2\alpha}; \quad R_3^m = 0.$$

При нагружении единичной силой

$$\Sigma M_{D_0} = -1 \cdot a + R_1^m \cdot 2a = 0; \quad R_1^m = 1/2 \quad \text{и} \quad R_2^m = R_1^m = 1/2, \quad R_3^m = 0.$$

Теперь построим эпюры (см. рис. I.13а и I.13б) моментов и осевых сил.

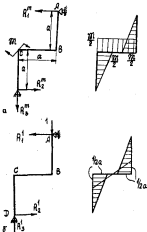


Рис. I.13. "Грузовое" состояние (а) и нагружение единичной силой (б) (см. пример I.4.4)

На участке CD интеграл Мора будет равен нулю, так как если выбрать в качестве  $f_1(x)$  функцию  $M_2(P, x)$  и в качестве  $f_2(x)$  функцию  $M_2(x)$ , то значения  $f_1(x_1^c)$  равно нулю (так же, как на участке BC, пример I.4.3). Интегралы Мора, вычисленные на участках AB и CD, будут равны между собой. На этих участках совершенно произвольно, какую функцию выбрать в качестве  $f_1(x)$ , а какую в качестве  $f_2(x)$ . Пусть  $f_1(x) = M_{21}(x)$ . Тогда  $Q_1 = \frac{1}{2} \cdot a \cdot \frac{1}{2} \cdot a = a^2/4$ . Абсцисса центра тяжести треугольника  $x_1^1 = 2a/3$  и  $f_2(x_1^1) = M_2(P, x_1^1) = M/3$ .

В результате

$$\delta_A = \frac{1}{EI_2} \cdot \frac{a^2}{4} \cdot \frac{M}{3} = \frac{Ma^3}{6EI_2}.$$

## 2. СЧЕТЫ СОПРОТИВЛЕНИЯ СТЕРЖНЕЙ

В начальных разделах курса рассматриваются так называемые элементарные деформации стержней: осевая деформация, сдвиговое кручение и плоский поперечный изгиб. Во многих возможных внутренних силовых факторах (см. рис. I.1а и I.1б) в поперечных сечениях стержней в первом случае возникает только продольная сила  $M$ , во втором — крутящий момент  $M_k$ , а в третьем — либо комбинация изгибающего момента  $M$  и поперечной силы  $Q_y$ , либо комбинация  $M_y$  и  $Q_x$ . Работу стержней, в поперечных сечениях которых возникает или, по крайней мере с пренебрежением ими, комбинация силовых факторов, исследует сложная сопротивляемость. В некоторых случаях возможно комбинирование всех шести усилий —  $M$ ,  $Q_y$ ,  $Q_x$ ,  $M_x$ ,  $M_y$  и  $M_z$ .

В этой главе рассматриваются примеры расчета узлов по определению напряжений и перемещений при сложном сопротивлении стержней. Считаем, что стержни имеют достаточно большую жесткость, при которой перемещения точек оси или по средине с поперечными размерами, в углах поворота сечений малы по сравнению с длинами. Интервал стержня поддается закону Гука. При выполнении указанных условий применим принцип независимости действия сил, т.е. преобразуем сложные силовые факторы. Это означает, что могут



быть использованы формулы теории плоскостных деформаций стержня с прямой осью. Величины деформаций, перемещений или напряжений можно вычислять алгебраическим суммированием соответствующих величин, рассчитанных в каждой точке по отдельности от действия каждого внешнего фактора.

### 2.1. Косой изгиб

Косой изгиб наблюдается в тех случаях, когда плоскость действующего момента (плоскость действия нагрузки) не совпадает с главной осью сечения. Основы расчета (сдвига) в круглых сечениях. Косой изгиб может рассматриваться как сочетание двух плоских изгибов в главных плоскостях  $x_1y_1$  и  $x_2z_2$  (рис. 2.1).

Нейтральная линия проходит через центр тяжести сечения, но по перпендикулярной плоскости действия нагрузки (рис. 2.2). Положение ее определяется по формуле

$$\operatorname{tg} \beta = \frac{J_z}{J_y} \operatorname{tg} \alpha, \quad (2.1)$$

где  $\alpha$  - угол наклона плоскости действия действующего момента к главной центральной оси  $y$ ;  $\beta$  - угол, образуемый нейтральной линией с другой главной осью сечения  $z$ ;  $J_x$ ,  $J_y$  - главные центральные моменты инерции сечения.

Нормальная ось лежит в плоскости, перпендикулярной нейтральной плоскости, и составляет с осью  $y$  угол, равный  $\beta$ .

В соответствии с принятым ранее правилом знаков положительные считаются изгибающие моменты, при которых в точках сечения с положительными значениями координат возникают сжимающие, т.е. отрицательные напряжения. Поэтому формула для определения при косом изгибе нормальных напряжений в произвольной точке сечения с координатами  $y$  и  $z$  имеет вид

$$\sigma = - \left( \frac{M_y}{J_y} z + \frac{M_z}{J_z} y \right). \quad (2.2)$$



Рис. 2.1. Косой изгиб балки: 1 - плоскости действия сил

33  
Если  $M$  - значение действующего момента в произвольном сечении, лежащем в плоскости действия сил, то  $M_y = M \sin \alpha$ ,  $M_z = M \cos \alpha$ . С учетом этого

$$\sigma = - M \left( \frac{\sin \alpha}{J_y} z + \frac{\cos \alpha}{J_z} y \right). \quad (2.3)$$

Небольшое напряжение возникает в точках сечения, наиболее удаленных от нейтральной линии. В большинстве случаев при решении практических задач формы сечения балки позволяют легко определить положение нейтральной линии. Формулы для небольших напряжений имеют вид

$$\sigma_{\max/\min} = \pm \left( \frac{|M_y|}{W_y} + \frac{|M_z|}{W_z} \right), \quad (2.4)$$

где  $W_y$ ,  $W_z$  - моменты сопротивления сечения.

Расположение нейтральной линии определяется по формуле

$$\frac{|M_y|}{W_y} + \frac{|M_z|}{W_z} \leq [\sigma]. \quad (2.5)$$

Если рассмотрены примеры решения задач при косом изгибе.

**Пример 2.1.1.** Определить величину угла отклонения плоскости изгиба, если плоскость действия сил составляет с плоскостью наибольшей жесткости угол, равный  $1^\circ$ . Сечение балки прямоугольное. Рассчитать параметры с  $h/b = 5$  и  $h/b = 10$ .  
**Решение.** В соответствии с рис. 2.2  $\alpha = 1^\circ$ . Косой угол  $\beta$  рассчитывается по формуле (2.1).

Тогда для прямоугольного сечения  $J_z = bh^3/12$ , а  $J_y = hb^3/12$ , имеем

$$\operatorname{tg} \beta = \frac{J_z}{J_y} \operatorname{tg} \alpha = \frac{bh^3}{12} \frac{12}{hb^3} \operatorname{tg} \alpha = \frac{h^2}{b^2} \operatorname{tg} \alpha; \quad \operatorname{tg} \beta = 0,0175;$$

при  $h/b = 5$   $\operatorname{tg} \beta = 25 \cdot 0,0175 = 0,4375$ ;  $\beta = 23^\circ 36'$ ;

при  $h/b = 10$   $\operatorname{tg} \beta = 100 \cdot 0,0175 = 1,7500$ ;  $\beta = 60^\circ 15'$ .



Рис. 2.2. Возможное расположение нейтральной линии (1), сечения нейтральной плоскости (2) и сечения плоскости изгиба (3)

Очевидно, что чем больше отклонится друг от друга главные моменты инерции сечения балки, тем она чувствительнее к повороту по отношению к главной плоскости приложения нагрузки. Можно доказать, что это отклонение темло и тембу в плоскости наибольшей жесткости.

**Пример 2.1.2.** Определить степень увеличения наибольших нормальных напряжений в балке двутаврового сечения № 70, если по проекту она должна работать на изгиб в вертикальной плоскости при строго вертикальном положении двутавра, а из-за неточного монтажа стволы его приобрели наклон, определяемый углом, равным  $1^{\circ}30'$ .

**Решение.** На срезе балки для двутавра № 70  $W_x = 3840 \text{ см}^3$ ,  $W_y = 260 \text{ см}^3$ . При точной установке балки наибольшие нормальные напряжения будут равно  $\sigma_{\text{max}} = M_{\text{max}}/W_x$ . Для искомого положения по формулам (2.3) и (2.4) следует

$$\sigma_{\text{max}} = \frac{M_x}{W_x} + \frac{M_y}{W_y} = M_{\text{max}} \left( \frac{\cos \alpha}{W_x} + \frac{\sin \alpha}{W_y} \right) = \frac{M_{\text{max}}}{W_x} \left( \cos \alpha + \frac{W_x}{W_y} \sin \alpha \right);$$

$$\cos 1^{\circ}30' = 0,9997; \quad \sin 1^{\circ}30' = 0,0262; \quad \frac{W_x}{W_y} = \frac{3840}{260} = 14,77;$$

$$\sigma_{\text{max}} = \frac{M_{\text{max}}}{W_x} (0,9997 + 14,77 \cdot 0,0262) = 1,387 \frac{M_{\text{max}}}{W_x}.$$

Таким образом, степень в установке, при которой балка получила наклон всего  $1,5^{\circ}$ , привнесла увеличение напряжений на 38,7%.

**Пример 2.1.3.** Таврица срезана на двух одинаковых стальных полозьях сечением 20x120 мм балка нагружена вертикальной силой. Сечение имеет наклон  $30^{\circ}$  к вертикали (рис. 2.3). Определить в осях сечения наибольшие по абсолютной величине нормальные напряжения, положение нейтральной оси, значения полного  $f$ , вертикального  $f_x$  и горизонтального  $f_y$  прогибов. Модуль Юнга  $E = 2 \cdot 10^5 \text{ МПа}$ .

**Решение.** Сначала определим основные геометрические характеристики сечения. Для удобства размеры сечения произведем в сантиметрах. Поскольку площадь прямоугольника, из которых составлено сечение, одинакова, центр тяжести фигуры находится посередине отрезка длиной  $\gamma$  см, со-

единого центра тяжести этих прямоугольников (рис. 2.3, б). Вычислим моменты инерции относительно главных центральных осей:

$$J_y = \frac{12 \cdot 2^3}{12} + \frac{2 \cdot 12^3}{12} = 296 \text{ см}^4,$$

$$J_x = \frac{2 \cdot 12^3}{12} + 3,5^2 \cdot 24 + \frac{12 \cdot 2^3}{12} + 3,5^2 \cdot 24 = 284 \text{ см}^4.$$

По формуле (2.1) определим положение нейтральной линии:

$$\operatorname{tg} \rho = \frac{J_x}{J_y} \operatorname{tg} \alpha = \frac{284}{296} \operatorname{tg} 30^{\circ} = 0,7146; \quad \rho = 35^{\circ}33'.$$

Одним из концов сечения под силой  $P$ , в котором действует наибольшая момент  $M_{\text{max}} = P \cdot l/4 = 10 \cdot 4/4 = 10 \text{ кН}\cdot\text{м}$ . Для нахождения точки, в которой будет действовать  $\sigma_{\text{max}}$ , на чертеже проведем нейтральную линию, после чего становится очевидным, что этой точкой будет точка  $A$ , наиболее удаленная от нейтральной линии. Также очевидно, что напряжения в этой точке будут растяжимыми. Поэтому при определении  $\sigma_{\text{max}}$  по формуле (2.3) можно преобразовать формулы, применив вместо для наибольших моментов  $M_{\text{max}}$  в качестве координат расчет-

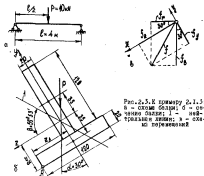


Рис. 2.3. К примеру 2.1.3; а — схема балки; б — сечение балки; 1 — нейтральная линия; а — ось поворота

той точки. На чертеже  $x_A = 6$  см;  $|y_A| = 4,5$  см. Переходы размерности, получим

$$\begin{aligned} \sigma_{\max} &= M_{\max} \left( \frac{\sin 30^\circ}{J_y} z_A + \frac{\cos 30^\circ}{J_z} y_A \right) = \\ &= 11 \left( \frac{0,5}{200 \cdot 10^{-8}} 6 \cdot 10^{-2} + \frac{0,866}{134 \cdot 10^{-8}} 4,5 \cdot 10^{-2} \right) = \\ &= 115,5 \cdot 10^3 \text{ кН/м}^2 = 115,5 \text{ МПа}. \end{aligned}$$

Надеемся, что посередине проката под сосредоточенной силой при плоском изгибе  $f_{\max} = PR^3/48EI$ . Для этого определим по отдельности прогибы в главных плоскостях под действием проекций силы  $P$  на главные оси, равных  $P_y = P \cos \alpha$ ,  $P_z = P \sin \alpha$ :

$$f_y = \frac{P_y l^3}{48EI_y} = \frac{40 \cdot 10^3 \cdot 4^3 \cdot \cos 30^\circ}{48 \cdot 2 \cdot 10^8 \cdot 10^4 \cdot 296 \cdot 10^{-8}} = 6,53 \cdot 10^{-3} \text{ м} = 6,53 \text{ мм};$$

$$f_z = \frac{P_z l^3}{48EI_z} = \frac{40 \cdot 10^3 \cdot 4^3 \cdot \sin 30^\circ}{48 \cdot 2 \cdot 10^8 \cdot 10^4 \cdot 136 \cdot 10^{-8}} = 11,26 \cdot 10^{-3} \text{ м} = 11,26 \text{ мм}.$$

Полный прогиб

$$f = \sqrt{f_y^2 + f_z^2} = \sqrt{6,53^2 + 11,26^2} = 13,02 \text{ мм}.$$

Вертикальный прогиб

$$f_y - f_y \cos 30^\circ + f_z \sin 30^\circ = 6,53 \cdot 0,866 + 11,26 \cdot 0,5 = 11,26 \text{ мм}.$$

Горизонтальный прогиб

$$f_z - f_z \cos 30^\circ - f_y \sin 30^\circ = 11,26 \cdot 0,866 - 6,53 \cdot 0,5 = 6,49 \text{ мм}.$$

По найденным значениям сторон треугольника до центра тяжести сечения (рис. 2.3, в).

**Пример 2.1.4.** Подобрать двутавровое сечение для балки, изображенной на рис. 2.4, в. Материал — сталь с допустимым напряжением  $[\sigma] = 140$  МПа. Дано:  $P = 10$  кН;  $M_A = 20$  кН·м;  $M_B = 10$  кН·м. Плоскость действующей силы наклонена к плоскости, совпадающей со осью двутавра, на угол  $30^\circ$  (рис. 2.4, д).

**Решение.** Для определения опасного сечения требуется построить эпюры изгибающих моментов. Здесь можно обойтись без составления выражений для моментов по участкам.

Определим опасные  $M$  в характерных сечениях балки. На свободном конце консоли может быть нуль. В сечении чуть левее опоры  $A$  момент  $M_A^{\text{лев}} = -P \cdot l = -10$  кН·м, а чуть правее нее момент  $M_A^{\text{прав}} = -P \cdot l + M_A = -10 + 20 = 10$  кН·м. В опоре сечения  $B$   $M_B = -M_2 = -10$  кН·м. Достаточно сложить на эпюре  $M$  эти значения и соединить полученную точку прямой с началом (рис. 2.4, в). Выполнив эти условия прочтется (2.5):

$$\frac{|M_y|}{W_y} + \frac{|M_z|}{W_z} \leq [\sigma].$$

Здесь  $|M_y| = |M_{\max}| \sin 30^\circ$ ;  $|M_z| = |M_{\max}| \cos 30^\circ$ .

Из эпюры видно, что в трех сечениях по длине балки действует максимальный изгибающий момент  $|M_{\max}| = 10$  кН·м.

Введем обозначение  $\varepsilon = W_z/W_y$  и переписывем условие прочности относительно  $W_z$ :

$$\begin{aligned} W_z &\geq \frac{|M_z| + \varepsilon |M_y|}{[\sigma]} = \frac{10 \cos 30^\circ + \varepsilon \cdot 10 \sin 30^\circ}{140 \cdot 10^3} = \\ &= \frac{8,66 + 5,0 \cdot \varepsilon}{140} \cdot 10^{-6} = (61,86 + 35,71 \cdot \varepsilon) \cdot 10^{-6} \text{ м}^3 = \\ &= 61,86 + 35,71 \cdot \varepsilon \text{ см}^3. \end{aligned}$$

По справочнику для двутавра (ГОСТ 8259-86) следует, что отношение  $\varepsilon = W_z/W_y$  лежит в пределах от  $\varepsilon = 6$  (двутавр 10) до  $\varepsilon = 15,5$  (двутавр 670Б).

Поскольку метод последовательных приближений. В первом приближении примем  $\varepsilon = 10$ , тогда момент сосредоточенный

$$W_z > 61,86 + 35,71 \cdot 10 = 418,9 \text{ см}^3.$$

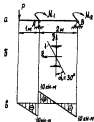


Рис. 2.4. К примеру 2.1.4: а — схема балки; б — сечение балки; в — плоскость действия силы; г — эпюра изгибающих моментов

Сжатый диаметр в 27А имеет  $W_x = 407 \text{ см}^3$  и  $W_y = 50,0 \text{ см}^3$ .  
 Определим наибольшие напряжения

$$\sigma_{\max} = \frac{|M_x|}{W_x} + \frac{|M_y|}{W_y} = \frac{10 \cdot 10 \cdot 30}{407 \cdot 10^{-6}} + \frac{10 \cdot \cos 30^\circ}{407 \cdot 10^{-6}} =$$

$$= (100 + 21,3) \cdot 10^3 \text{ кН/м}^2 = 121,3 \text{ МПа.}$$

Нагрузка составляет  $\frac{120 - 121,3}{120} \cdot 100 \approx 1,1\% > 5\%$ .

Варенный диаметр в 27 с  $W_x = 371 \text{ см}^3$  и  $W_y = 41,5 \text{ см}^3$ .

$$\sigma_{\max} = \frac{10 \cdot 2,5}{41,5 \cdot 10^{-6}} + \frac{10 \cdot 0,866}{371 \cdot 10^{-6}} = (60,5 + 23,3) \cdot 10^3 \text{ кН/м}^2 = 83,8 \text{ МПа.}$$

Перевыгрузка  $\frac{83,8 - 120}{120} \cdot 100 = 3,2\% < 5\%$ .

Итак, оптимальным свой набор на диаметр в 27.

**Пример 2.1.5.** Прямая балка (рис. 2.5.а) прямоугольного несимметричного сечения нагружена вертикальной силой  $P$  в точке  $A$  и горизонтальной силой  $R$  в точке  $B$ . Обе силы проходят через центры тяжести сечений.

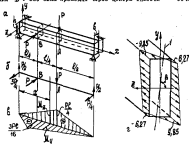


Рис. 2.5. К примеру 2.1.5. а - балка; б - сечение балки; в - линии действия моментов  $M_x$  и  $M_y$ ; г - линии действия напряжений в сечении в; д - нейтральная линия

Найти допустимую нагрузку  $P$ , если заданы:  $h = 24 \text{ см}$ ;  $h/b = 3$ ;  $t = 2 \text{ см}$ ;  $[\sigma] = 10 \text{ МПа}$ . Определить положение нейтральной линии в плоскости балки и построить для этого сечения карту нормальных напряжений в эллиптической.

**Решение.** В данном случае жёсткой может считаться балка, нагруженная по плоскости оси сечения, но, так как она лежит в плоскости сечения, результирующий изгибающий момент в любом сечении по длине балки не лежит ни в одной из главных плоскостей.

Решим по отдалённости для симметричных точек верхней балки в вертикальной и горизонтальной плоскостях, определим реакции опор, составим схему сил (рис. 2.5.б), строим карты изгибающих моментов  $M_x$  и  $M_y$  (рис. 2.5.в). Определим, что плоское сечение расположено на участке  $AB$ . В произвольном сечении на этом участке на расстоянии  $x$  от левой опоры реакции моментов имеют следующий вид:

$$M_x = \frac{P}{2} x; \quad M_y = \frac{3}{4} P x = P \left( x - \frac{h}{4} \right) = \frac{P}{4} (l - x).$$

В точке ребра, общего для верхней и тыльной граней балки, суммируются наибольшие сжимающие напряжения, а в точке ребра, общего для нижней и тыльной граней, суммируются наибольшие растягивающие напряжения. Для точки несимметричного сечения, относящегося к позадней реbru, величина:

$$\sigma_{\max} = \frac{M_x}{W_x} + \frac{M_y}{W_y} = \frac{Px}{2W_x} + \frac{P(l-x)}{4W_y}.$$

С учетом того, что  $h = \frac{b}{3}$

$$W_x = \frac{bh^3}{12} = \frac{b^4}{18}; \quad W_y = \frac{hb^3}{6} = \frac{b^4}{54}.$$

тогда

$$\sigma_{\max} = \frac{12Px}{b^4} + \frac{54P(l-x)}{b^4} = \frac{9P}{2b^4} (3l - x).$$

Сечение участка  $AB$  соответствует  $l/4$  и к  $l/2$ . Определим, что сечение будет сечением  $B$  с координатой  $x = l/4$ :

$$\sigma_{\max} = \frac{9P}{2b^4} \left( 3l - \frac{l}{4} \right) = \frac{99}{8} \frac{Pl}{b^4}.$$

Оценим полуго, что положение нейтральной линии существенно и величина отношения  $h/b$ . Должно показаться, что

при  $h/l = 2$  по всей окружности участка АВ максимальные напряжения одинаковы, а при меньшей величине отношения (например,  $h/l = 1,5$ ) максимальные напряжения возникают в сечении А.

Условие прочности  $\sigma_{\max} = 99Pl/8h^3 \leq [\sigma]$  позволяет получить выражение для определения допустимой нагрузки

$$P \leq \frac{8h^3[\sigma]}{99l} = \frac{8(24 \cdot 10^{-3})^3 \cdot 10 \cdot 10^6}{99 \cdot 2} = 6325 \text{ Н}.$$

Исходя из этого условия, принимаем  $P = 5,5 \text{ кН}$ .

Для определения положения нейтральной линии по формуле (2.1) используем выражение  $I_{yz} = -M_y/M_x$ . С учетом указанного выше

$$I_{yz} = -\frac{J_y}{J_x} \frac{M_x}{M_y} = -\frac{h^3}{12} \frac{12}{h^3} \frac{3Pl}{16} \frac{8}{Pl} = -\frac{3}{2} \left(\frac{h}{l}\right)^2 = -45,5; \quad \rho = 85^\circ 46'.$$

Для построения ширины  $\sigma$  в данном сечении, учитывая линейный закон изменения нормальных напряжений по высоте и ширине сечения (см. формулу (2.2)), достаточно рассчитать значения  $\sigma$  в угловых точках. Для двух точек можно использовать полученное выше выражение для  $\sigma_{\max}$ :

$$\sigma_{\max} = \frac{99Pl}{8h^3} = \frac{99 \cdot 5,5 \cdot 10^3 \cdot 2}{8 \cdot 24^3 \cdot 10^{-9}} = 4,85 \cdot 10^6 \frac{\text{Н}}{\text{м}^2} = 4,85 \text{ МПа}.$$

В точке сечения с координатами  $x = h/2$  и  $y = h/2$   $\sigma = -9,85 \text{ МПа}$ . В точке с координатами  $x = -h/2$  и  $y = -h/2$   $\sigma = 9,85 \text{ МПа}$ . Для расчета  $\sigma$  в двух остальных точках используем формулу (2.2).

В точке с координатами  $x = -h/2$  и  $y = h/2$

$$\begin{aligned} \sigma &= -\left(\frac{M_x}{J_x} x + \frac{M_y}{J_y} y\right) = -\left(\frac{3Pl}{16} \frac{12}{h^3} x + \frac{Pl}{8} \frac{12}{h^3} \frac{h}{2}\right) = \\ &= -\left(-\frac{81}{8} \frac{Pl}{h^3} + \frac{12}{8} \frac{Pl}{h^3}\right) = \frac{63}{8} \frac{5,5 \cdot 10^3 \cdot 2}{24^3 \cdot 10^{-9}} = 6,27 \text{ МПа}. \end{aligned}$$

В точке с координатами  $x = h/2$  и  $y = -h/2$

$$\sigma = -\left(\frac{81}{8} \frac{Pl}{h^3} - \frac{12}{8} \frac{Pl}{h^3}\right) = -6,27 \text{ МПа}.$$

Изобразим в эквидистантном сечении балки, проводя нейтральную линию, строим ширину нормальных напряжений (рис. 2.5, г).

## 2.2. Эксцентричное растяжение или сжатие.

### Растяжение или сжатие и изгиб

При эксцентричном растяжении (сжатии) линия действия продольной силы не совпадает с геометрической осью сечения, оставаясь ей параллельной (рис. 2.6). Полагая точку приложения силы  $P$  равноудаленной в положительном направлении, растяжения и сжатия, отстояющей от оси сечения. При эксцентричном растяжении в поперечных сечениях бруса возникают наибольшие моменты  $M_x = P y_p$ ,  $M_y = P x_p$  ( $y_p$  и  $x_p$  — координаты точки приложения силы) и осевая сила  $N = P$ . Таким образом, имеет место комбинация чистого осевого изгиба (или двух чистых изгибов в главных плоскостях) и осевого растяжения (сжатия).



Рис. 2.6. Эксцентричное растяжение сечения

В произвольной точке с координатами  $y$  и  $x$  любого поперечного сечения определяются формулой

$$\sigma = \frac{N}{F} + \frac{M_x}{J_x} x + \frac{M_y}{J_y} y = \frac{P}{F} \left( 1 + \frac{x_p x}{i_x^2} + \frac{y_p y}{i_y^2} \right), \quad (2.6)$$

где  $i_x = \sqrt{J_x/F}$ ,  $i_y = \sqrt{J_y/F}$  — радиусы инерции плоского поперечного сечения.

Величину силы  $P$  следует подставлять в эту формулу со знаком, соответствующим роду деформации (сжатие — растяжение, а изгибом — сжатие).

Уравнение нейтральной линии имеет вид

$$1 + \frac{x_p x}{i_x^2} + \frac{y_p y}{i_y^2} = 0. \quad (2.7)$$

**Пример 2.2.1.** Две проволоки из стали, имеющей в исходном состоянии допустимое напряжение  $[\sigma]$ , сварены вместе. Составная проволока растягивается центральной силой  $P$ , при которой  $\sigma = P/Ft = 0,53[\sigma]$ . Так как сварка приводит к снижению механических характеристик материала, величину допустимого напряжения для материала в зоне или состоянии  $[\sigma_1] = 0,84[\sigma]$ . Вспомогательная проволока имеет длину при-

верхней накладки (рис. 2.7, в). Определить требуемую толщину пластин из условия прочности.

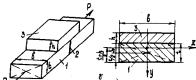


Рис. 2.7. В примере 2.2.1: а - схема составного стержня; б - поперечное сечение по стыку; в - сечение вала; 2 - сварной шов; 3 - накладка

**Решение.** Рассмотрим поперечное сечение по стыку вала (рис. 2.7, б). Высота сечения равна сумме толщин вала и накладок. Проводим через центр тяжести сечения горизонтальную ось  $x$  и  $z$ . Левая половина силы  $P$  действует от верхней оси  $z$  на расстоянии  $y_0 = (t+h)/2 - t/2 = h/2$ . Находимые напряжения, действующие в точках с  $y_{\max} = (t+h)/2$ , определяем по формуле (2.6):

$$\sigma_{\max} = \frac{P}{F} + \frac{M_z}{J_z} y_{\max} = \frac{P}{8(t+h)} + \frac{P y_0 y_{\max}}{8(t+h)^3/12} =$$

$$= \frac{P}{8} \left( \frac{1}{t+h} + \frac{3h}{(t+h)^2} \right) = \frac{P}{8} \frac{t+4h}{(t+h)^2}.$$

Условие прочности имеет вид  $\sigma_{\max} \leq [\sigma] = 0,84[\sigma]$ . В свою очередь, из равенства  $P/8t = 0,93[\sigma]$  можно выразить  $[\sigma] = P/0,938t$ . Если:

$$\frac{P}{8} \frac{t+4h}{(t+h)^2} \leq \frac{0,84P}{0,938t}.$$

Переходя к равенству, после сокращения получим уравнение

$$t(t+4t) = 0,90(t+h)^2 \quad \text{или} \quad 0,9h^2 - 2,2t h - 0,14t^2 = 0.$$

Решив это уравнение относительно  $h$ , отбросившим одну из корней, найдем отрицательное значение. Второй корень имеет значение  $h = 2,92t$ . Округляем полученное значение  $h = 2,5t$ .

**Пример 2.2.2.** Во сколько раз уменьшится несущая способность сварной дуги (рис. 2.8, а), если одно из звеньев окажется разохнутой?

**Решение.** Для сравнения рассмотрим целое и разохнутое звено. Примем метод сечений, определив внутренние усилия, действующие в сечении дуги, из которого изготовлено звено. В неразрывном сечении целого звена действует только

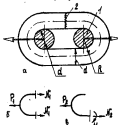


Рис. 2.8. В примере 2.2.2: а - звено целое; б - сечение разохнутого звена; 2 - сварной шов (здесь показано разрывание звена); 3 - внутренняя резьба в сечении вала; в - внутренняя резьба в сечении разохнутого звена

$$\sigma_{\max} = \frac{N_2}{F} = \frac{0,5P_1}{\pi d^2/4} =$$

$$= \frac{2P_1}{\pi d^2}.$$

Из условия прочности  $\sigma_{\max} \leq [\sigma]$  находим допустимые значения нагрузки  $[P_1] = \pi d^2 [\sigma] / 2$ .

В случае разохнутого звена (рис. 2.8, в) в поперечном сечении помимо растягивающей силы  $N_2 = P_2$  на-за нецентральности силы  $P_2$  возникает изгибающий момент  $M = P_2 R$ . Наибольшие напряжения

$$\sigma_{\max} = \frac{N_2}{F} + \frac{M}{W} = \frac{P_2}{\pi d^2/4} + \frac{P_2 R}{\pi d^3/32} = \frac{4P_2}{\pi d^2} \left( 1 + \frac{R}{d} \right).$$

Из условия прочности

$$[P_2] = \pi d^2 [\sigma] / 4 \left( 1 + 8R/d \right).$$

Среднее допустимое напряжение, если отсечь

$$\frac{[P_1]}{[P_2]} = \frac{\pi d^2 [\sigma] / 2}{\pi d^2 [\sigma] / 4 \left( 1 + 8R/d \right)} = 2 \left( 1 + 8R/d \right).$$

На рис. 2.8,а видно, что наименьшее значение  $R/d = 1$ . В этом случае  $[P_x]/[P_y] = 15$ . На практике для исключения наименьших значений даны شرط  $R/d > 1$ . Если, к примеру,  $R/d = 1,25$ , получим  $[P_x]/[P_y] = 22$ .

Таким образом, можно сделать заключение, что размещение одного или двух заделов может резко снизить нагрузку способностей всей конструкции.

**Пример 2.2.3.** Определить наибольшие и наименьшие нормальные напряжения в поперечном нейтральном осях в сечении стержня прямого бруса (рис. 2.9,а). Дано:  $l = 50$  см,  $a = 10$  см,  $P = 100$  кН.

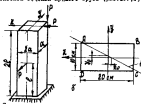


Рис. 2.9. К примеру 2.2.3: а - схема бруса; б - сечение бруса в заделке; в - нейтральная линия

$$\sigma = \frac{M}{F} + \frac{M_x}{J_x} z + \frac{M_y}{J_y} y,$$

в которой  $M = -P$ ; сосредоточенная сила  $x_p = a$ ;  $y_p = 0,5a$ ;  $M_x = (-P)(-a) = Pa$ ;  $M_y = (-P) 0,5a = -0,5Pa$ ;  $J_x = a(2a)^2/12 = 2a^3/3$ ;  $J_y = 2a \cdot a^3/12 = a^4/6$ ;  $F = 2a^2$ . Напряжения во всех поперечных сечениях бруса одинаковы.

Векторы поперечных сил, направленные вдоль оси  $x$ , приводят к плоскому изгибу относительно оси  $y$ . Наибольший момент действует в сечении заделки:  $M_{y_{max}} = Pa$ . В точках сечений, выходящих поперек оси  $x'$ , при этом изгибе наблюдается сжатие, следовательно, можно восполь-

$$\sigma = -\frac{M_{y_{max}}}{J_y} z = -\frac{Pa}{J_y} z.$$

Поперечная сила, приложенная поперек длины бруса, приводит к изгибу в другой главной плоскости. Опасным также является сечение заделки, в котором  $M_{x_{max}} = Pa$ .

Точки с максимальными напряжениями по оси  $y$  при этом изгибе соответствуют расстояниям:

$$\sigma = -\frac{M_{x_{max}}}{J_x} y = -\frac{Pa}{J_x} y.$$

Суммируя моменты, составим общую формулу для нормальных напряжений в произвольной точке с координатами  $y$  и  $z$ , принадлежащей сечению заделки:

$$\sigma = -\frac{P}{F} + \frac{Pa - Pa}{J_y} z + \frac{-0,5Pa + Pa}{J_x} y.$$

Для упрощения последующих расчетов условимся подставить в эту формулу ось  $x$  в миллиметрах, линейные размеры — в сантиметрах. Напряжение получит размерность, которую мы в заключение расчетов приведем к стандартной:

$$\sigma = -\frac{100}{2 \cdot 100} + \frac{100(10 - 100)}{2 \cdot 10^3/3} z + \frac{100(-5 + 10)}{10^4/6} y = -0,5 - 4,5z + 2,7y.$$

Вычислим напряжения в угловых точках сечений (рис. 2.9,б) в точке А ( $x_A = 10$  см,  $y_A = 5$  см)

$$\sigma_A = -0,5 - 4,5 \cdot 10 + 2,7 \cdot 5 = -0,5 \text{ кН/см}^2;$$

в точке В ( $x_B = -10$  см,  $y_B = 5$  см):

$$\sigma_B = -0,5 + 45 + 13,5 = 48,5 \text{ кН/см}^2;$$

в точке С ( $x_C = -10$  см,  $y_C = -5$  см):

$$\sigma_C = -0,5 + 45 - 13,5 = -0,5 \text{ кН/см}^2;$$

в точке D ( $x_D = 10$  см,  $y_D = -5$  см):

$$\sigma_D = -0,5 - 45 - 13,5 = -49,5 \text{ кН/см}^2.$$

С учетом того, что  $1 \text{ кН/см}^2 = 10^5 \text{ кН/10}^4 \text{ м}^2 = 10 \text{ МПа}$ , окончательно получим:

$$\sigma_{\max} = \sigma_2 = 265 \text{ МПа} ; \quad \sigma_{\min} = \sigma_3 = -275 \text{ МПа} .$$

В остальных точках

$$\sigma_x = \sigma_y = -5 \text{ МПа} .$$

Уравнение нейтральной линии получаем приравняв нулю уравнение для напряжений:

$$-0,5 - 1,35x + 2,7y = 0 .$$

Если  $x_0$  и  $y_0$  — точки пересечения нейтральной линии с осями координат, то при  $x = x_0$   $y = 0$ :

$$-0,5 - 1,35x_0 + 0 = 0 ; \quad x_0 = -0,370 \text{ см} .$$

Аналогично, при  $y = y_0$ ,  $x = 0$   $-0,5 - 0 + 2,7y_0 = 0$ ;  $y_0 = 0,185 \text{ см}$ . Проведем на чертеже допарabolicкого сечения нейтральную ось (рис. 2.9,б).

### 2.3. Кручение и изгиб

При одновременном кручении и изгибе старая комбинация пяти внутренних силочных факторов: крутящего момента  $M_x = M_k$ , двух изгибающих моментов  $M_y$  и  $M_z$  и двух поперечных сил  $Q_y$  и  $Q_z$ . Наиболее часто такому виду деформации подвергаются арматурные элементы мостов и железобетонные, особенно массивные круглые поперечные сечения, например, различного рода сваи. В этих случаях напряжения от действия сил  $Q_y$  и  $Q_z$  имеют второстепенное значение, так в расчете пренебрегают.

Крутящий момент вызывает наибольшие значения касательных напряжений во всех точках контура сечения, равные  $\tau_{\max} = M_k / W_p$ , где  $W_p = \pi d^3 / 16$  — полярный момент сопротивления круглого сплошного сечения диаметром  $d$ .

Изгиб же в двух плоскостях от действия  $M_y$  и  $M_z$  можно привести к плоскому изгибу от действия результирующего изгибающего момента  $M_k = \sqrt{M_y^2 + M_z^2}$ , так как осевой момент инерции круглого сечения не зависит от положения поперечной оси. Таким образом, наибольшие нормальные напряжения будут  $\sigma_{\max} = M_k / W$  где  $W = \pi d^3 / 32$  — осевой момент сопротивления. В остальных точках, исключаясь наибольшие нормальные  $\sigma_{\max}$  и касательные  $\tau_{\max}$  напряжения, наблюдается плоско-

ное напряженное состояние. Для старшей, железобетонной из пластичного материала, в этом случае применяется III или IV критерий прочности. Эквивалентный расчетный момент по III критерию прочности вычисляется по формуле

$$M_{\text{экв}} = \sqrt{M_y^2 + M_z^2} , \quad (2.8)$$

а по IV критерию:

$$M_{\text{IV}} = \sqrt{M_y^2 + M_z^2} = 0,705 M_k . \quad (2.9)$$

Расчетное напряжение определяется по формуле

$$\sigma_{\text{расч}} = M_{\text{IV}} / W = 32 M_{\text{IV}} / \pi d^3 \quad (2.10)$$

и должно удовлетворять условию прочности  $\sigma_{\text{расч}} \leq [\sigma]$ .

**Пример 2.3.1.** Круглая арматура вертикальной осью  $P$  (рис. 2.10). Исходя из III критерия прочности вычисляем эквивалентную действующую величину силы  $P$ , если диаметр круглого стержня  $d = 50 \text{ мм}$ ,  $l = 20 \text{ см}$ ,  $\sigma = 10^8$  Па. Допускаемое напряжение  $[\sigma] = 100 \text{ МПа}$ .



Рис. 2.10. К примеру 2.3.1

**Решение.** Не считая изгибающим, что круглый стержень будет испытывать кручение постоянным по его длине крутящим моментом, равным  $M_k = Pl$ . Кроме того, он изгибается в вертикальной плоскости, причем наибольшее значение изгибающего момента будет в сечении заданной  $M_k = Pl$ .

По III критерию прочности

$$M_k = \sqrt{(Pl)^2 + (Pl)^2} = Pl\sqrt{2} = 0,707 Pl .$$

Расчетное напряжение

$$\sigma_{\text{расч}} = 32 M_k / \pi d^3 = 32 Pl\sqrt{2} / \pi d^3$$

должно удовлетворять условию  $\sigma_{\text{расч}} \leq [\sigma]$ . Получим неравенство  $32 Pl\sqrt{2} / \pi d^3 \leq [\sigma]$ , откуда

$$P \leq \frac{[\sigma] \pi d^3}{32 \sqrt{2}} = \frac{100 \cdot 10^6 \cdot \pi (50 \cdot 10^{-3})^3}{32 \sqrt{2}} = 4904 \text{ Н} .$$



Прямым допустимым значением нагрузки

$$[P] = 4,9 \text{ кН.}$$

Пример 2.3.2. На стальной вал от электродвигателя передается мощность  $N = 80 \text{ кВт}$ . Вал изготовлен из стали с  $\sigma = 450 \text{ МПа}$ . На валу установлены два шкива диаметрами  $D_1 = 0,2 \text{ м}$  и  $D_2 = 0,6 \text{ м}$  (рис. 2.11, а), вес которых соответственно  $Q_1 = 2 \text{ кН}$ ,  $Q_2 = 4 \text{ кН}$ . С первого шкива снимается четвертая часть, а со второго — оставшаяся часть переданной мощности. Через шкивы перекинута ременная лента. Ветви первого направления вертикальны вниз, а второго — под углом к горизонту  $\alpha = 45^\circ$ . Указан в обозначении лентных шкивов меньшая, чем в действительности, ширина  $b = 80 \text{ мм}$ .

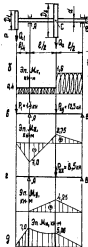


Рис. 2.11. К примеру 2.3.2: а — схема вала; б — эпюра крутящих моментов; в — эпюра в вертикальной плоскости; г — эпюра в горизонтальной плоскости; д — эпюра результирующих изгибающих моментов

Для шкивов диаметрами  $D_1 = 0,2 \text{ м}$  и  $D_2 = 0,6 \text{ м}$  (рис. 2.11, а), вес которых соответственно  $Q_1 = 2 \text{ кН}$ ,  $Q_2 = 4 \text{ кН}$ . С первого шкива снимается четвертая часть, а со второго — оставшаяся часть переданной мощности. Через шкивы перекинута ременная лента. Ветви первого направления вертикальны вниз, а второго — под углом к горизонту  $\alpha = 45^\circ$ . Указан в обозначении лентных шкивов меньшая, чем в действительности, ширина  $b = 80 \text{ мм}$ .

Нормальная и касательная составляющие диаметра  $d$  вала, если  $d = 2 \text{ см}$ ,  $[\sigma] = 80 \text{ МПа}$ .

Решение. Вал подвергается изгибу и кручению. Крутящий момент, передаваемый от электродвигателя, складывается из соотношения  $N = M_{кр} \omega$  (где  $\omega$  — частота вращения, измеряемая через число оборотов в минуту  $\omega = \pi n / 30$ ):

$$M_{кр} = N / \omega = 30N / \pi n = 30 \cdot 80 / 3,14 \cdot 150 = 1,60 \text{ кН·м.}$$

Поскольку  $N_1 = 0,25N$ , а  $N_2 = 0,75N$ , крутящий момент, действующий на вал со стороны первого шкива, равен  $M_{кр1} = 0,4 \text{ кН·м}$ , а второго —  $M_{кр2} = 1,2 \text{ кН·м}$ . Эпюры крутящих моментов представлены на рис. 2.11, б.

С другой стороны, указав направления лентной ременной ленты, определим крутящий момент, равный соответствующему крутящему:

$$M_{кр1} = M_1 = T_1 D_1 / 2 - t_1 D_1 / 2 = (2t_1 - t_1) D_1 / 2 = t_1 D_1 / 2 ; M_{кр2} = M_2 = t_2 D_2 / 2.$$

Отсюда

$$t_1 = 2M_{кр1} / D_1 = 2 \cdot 0,4 / 0,2 = 4 \text{ кН} ; T_1 = 2t_1 = 8 \text{ кН} ;$$

$$t_2 = 2M_{кр2} / D_2 = 2 \cdot 1,2 / 0,6 = 4 \text{ кН} ; T_2 = 2t_2 = 8 \text{ кН}.$$

В сечении вала под первым шкивом действуют вертикальные силы  $Q_1$  и  $Q_2$  и касательная, результирующая  $T_1$  и  $t_1$ . Проверим положение на вертикальную и горизонтальную оси, шкивом

$$P_y = Q_1 + T_1 + t_1 = 2 + 8 + 4 = 14 \text{ кН.}$$

В сечении вала под вторым шкивом действуют вертикальные силы  $Q_2$  и  $Q_1$  и касательная, результирующая  $T_2$  и  $t_2$ . Проверим положение на вертикальную и горизонтальную оси, шкивом

$$P_y = Q_2 + (T_2 + t_2) \cos \alpha = 4 + (8 + 4) \cos 45^\circ = 12,5 \text{ кН} ;$$

$$P_x = (T_2 + t_2) \sin \alpha = (8 + 4) \sin 45^\circ = 6,5 \text{ кН}.$$

Определим реакции при изгибе в вертикальной плоскости от действия сил  $P_y$  и  $P_x$ , стрем обозначим путем эпюры изгибающих моментов  $M_x$  (рис. 2.11, в). Таким же образом стрем эпюры изгибающих моментов  $M_y$  (рис. 2.11, г). Ветви, составляющие формулу  $M_{кр} = \sqrt{M_x^2 + M_y^2}$ , стрем эпюры результирующего изгибающего момента (рис. 2.11, д).

По формуле (2.9) определим значение эквивалентного момента в сечении А и В:

$$M_{эА} = \sqrt{M_x^2 + 0,75 M_y^2} = \sqrt{7,0^2 + 0,75 \cdot 6,5^2} = 7,0 \text{ кН·м} ;$$

$$M_{эВ} = \sqrt{5,0^2 + 0,75 \cdot 1,8^2} = 5,25 \text{ кН·м.}$$

Тогда образом, основным диаметром сечения  $A$ . Зная прочность вылет над  $R_{\text{выл}} = M_0 / W_0 [8]$ , откуда  $W_0 = M_0 / [8]$ . Основой момент сопротивления  $W = \pi d^3 / 32$ . Требуемый диаметр

$$d \geq \sqrt[3]{\frac{32 M_0}{\pi [8]}} = \sqrt[3]{\frac{32 \cdot 7,01}{3,14 \cdot 90 \cdot 10^6}} = 0,68 \cdot 10^{-2} \text{ м.}$$

Принимаем стандартный размер сечения вал:  $d = 100$  мм.

**Пример 2.3.3.** Подбери необходимые размеры поперечного сечения вала из четырех элементов сферической пространственной конструкции. Три элемента имеют прямоугольные сечения с одинаковыми сторонами  $b/\sqrt{3} = 2$ , а один - круглое сечение диаметром  $d$ . Ориентация сечений показана на рис. 2.12,а. Векторы:  $P = 6$  кН,  $q = 10$  кН/м,  $l = 1$  м,  $[8] = 160$  МПа.

**Решение.** Для построения эпюр внутренних осевых усилий применим метод сечений. Рассмотрим каждый участок отдельно, обозначим ось  $x$  с осью вращения, а оси  $y$  и  $z$  направим вдоль главных осей поперечного сечения этого участка. Считая положительными направления моменты, прикладываем и считаем со стороны положительного направления поперечной оси координат, строим эпюры этих моментов, образуем на валу кольцо сферич. Вала из вал при этом можно не считать.

**Элемент AB (рис. 2.12,а).** В произвольном сечении на расстоянии  $x$ , от точки  $A$  разрез валу осевая сила  $N$ , поперечная сила  $Q_x$ , крутящий момент  $M_x$  и изгибающий момент  $M_y$ . Поперечная сила  $Q_y = -P = -6$  кН. Изгибающий момент  $M_x$  определяется выражением  $M_x = -Px$ . Вычисления значения  $M_x$  на границах участка. При  $x = 0$  (в точке  $A$ )  $M_x = 0$ . При  $x = 0,2$  м (в точке  $B$ )  $M_x = -6 \cdot 0,2 = -1,2$  кН·м.

**Элемент BC (рис. 2.12,а).** В произвольном сечении с координатой  $x$ , разрез валу  $Q_x$ ,  $Q_y$ ,  $M_x$ ,  $M_y$ . Осевая сила  $N = P = 6$  кН. Изгибающий момент  $M_x = -P Q_0 x = -1,2$  кН·м - значение постоянно по всей длине элемента  $BC$ .

**Элемент CD (рис. 2.12,а).** Разрез валу  $N$  и  $M_x$ . Сила  $P$  приводит к изгибу в горизонтальной плоскости, а распределенная нагрузка  $q$  - в вертикальной.  $M_x = -P x$ ; при  $x = 0$  (точка  $D$ )  $M_x = 0$ , при  $x = 1$  м (точка  $C$ )  $M_x =$

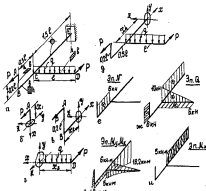


Рис. 2.12. К примеру 2.3.3: а - схема конструкции; б - эпюра осевых сил  $N$ ; в - эпюра поперечных сил  $Q_x$ ; г - эпюра изгибающих моментов  $M_x$ ; д - эпюра крутящих моментов  $M_y$ ; е - эпюра поперечных сил  $Q_y$

$= -6$  кН·м,  $Q_y = P = 6$  кН,  $M_x = -q x^2 / 2$ ; при  $x = 0$   $M_x = 0$  при  $x = 1$   $M_x = -10 \cdot 1^2 / 2 = -5$  кН·м. Не вычисляя для  $M_x$  видно, что его эпюра будет иметь вид параболы. Вычисляем значение  $M_x$  при  $x = 0,5$   $M_x = -10 \cdot 0,5^2 / 2 = -1,25$  кН·м. Поперечная сила  $Q_y = qx$ ; при  $x = 0$   $Q_y = 0$ ; при  $x = 1$   $Q_y = 10 \cdot 1 = 10$  кН.

**Элемент CE (рис. 2.12,а).** Пронизав сферу по произвольной оси  $x$ , получим  $N = P = 6$  кН. Пронизав вал поперечной осью для  $Q_x = 0$ ,  $Q_y = q l = 10$  кН. Крутящий момент  $M_x = -q l^2 / 2 = 5$  кН·м. Изгибающие моменты:  $M_y = -P x$ ; при  $x = 0$   $M_y = -P \cdot 0 = 0$  (точка  $C$ )  $M_y = -1,2$  кН·м; при  $x = 0,5$  м (точка  $E$ )  $M_y = -1,2 - 10 \cdot 0,5 = -6,2$  кН·м.

Итак, стороны стержня предельный сдвиг (рис. 2.12, в), поперечный сдвиг (рис. 2.12, ж), изгибающих (рис. 2.12, з) и крутящих (рис. 2.12, и) моментов.

Приступаем к подбору размеров поперечных сечений по условиям. Составляем условия прочности, предварительно выбираем поперечный сдвиг.

Условие АБ. Основным является сечение Б. Там действует наибольший изгибающий момент. Условие прочности записываем  $\sigma_{\text{max}} = M_{\text{изг max}} / W_x \leq [\sigma]$ , где  $M_{\text{изг}} = M_1^2 / h$  — основной момент сопротивления. С учетом отношения  $h_1/h = 2$   $W_x = h^3/12$ . Выбираем размерность изгибающего и крутящего моментов  $[M] = 100 \text{ кН} \cdot \text{м} = 100 \cdot 10^3 \text{ кН} \cdot \text{м}^2$ . Условием  $h$  при переопределении  $h^3/12 \geq M_{\text{изг max}} / [\sigma]$ ,  $h \geq \sqrt[3]{12 M_{\text{изг max}} / [\sigma]} = \sqrt[3]{12 \cdot 1,2 / 100 \cdot 10^3} = 4,48 \cdot 10^{-2} \text{ м}$ .

Принимаем  $h_1 = 4,5 \text{ см}$ ,  $h_2 = 2,25 \text{ см}$ .

Условие ВС. Все поперечные сечения — равнобедренные, поэтому расстояние и равно в вертикальной плоскости:

$$\sigma_{\text{max}} = \frac{M}{I} + \frac{M_x}{W_x} = \frac{M}{8I} + \frac{M_x \cdot 6}{8I \cdot 2} = \frac{2M}{h^3} + \frac{6M_x}{h^3} = \frac{2 \cdot 1,2}{h^3} + \frac{6 \cdot 1,2}{h^3} = \frac{12}{h^3} + \frac{7,2}{h^3} \leq [\sigma] = 100 \cdot 10^3 \text{ кН/м}^2$$

Задача сводится к решению кубического уравнения. В этом случае лучше использовать метод последовательных приближений. В первом приближении определим размер сечения без учета поперечной силы, а затем найдем коррективы в эти размеры, добиваясь удовлетворения условию прочности с определенным значением  $\sigma_{\text{max}}$  от величины  $[\sigma]$  не более чем на 5%.

Здесь видно, что учет только изгиба дает только не результаты, так и на участке АБ:  $h_1 = 4,5 \text{ см}$ ;  $h_2 = 2,25 \text{ см}$ .

Проверим условие прочности:

$$\sigma_{\text{max}} = \frac{12}{4,5^3 \cdot 10^{-6}} + \frac{7,2}{4,5^3 \cdot 10^{-6}} = (12,9 + 12,0) \cdot 10^3 = 24,9 \cdot 10^3 \text{ кН/м}^2$$

Получено значение  $\sigma_{\text{max}} > [\sigma]$ . Перегрузка составит

$$\frac{12,9 - 100}{100} \cdot 100 = 2,94\% < 5\%$$

В итоге принимаем  $h_1 = 4,5 \text{ см}$ ,  $h_2 = 2,25 \text{ см}$ .

Условие ДС. Здесь имеют комбинация двух плоских изгибов, что соответствует косому изгибу. Основным является сечение С, в котором сдвиг изгибающих моментов минимален:

$$\sigma_{\text{max}} = \frac{M_x}{W_x} + \frac{M_z}{W_z} = \frac{M_x \cdot 6}{8I} + \frac{M_z \cdot 6}{8I} = \frac{12M_x + 24M_z}{h^3} = \frac{12 \cdot 6 + 24 \cdot 5}{h^3} = \frac{192}{h^3} \leq 100 \cdot 10^3 \text{ кН/м}^2$$

$$h \geq \sqrt[3]{\frac{192}{100 \cdot 10^3}} = 60^{\frac{1}{3}} \cdot 10^{-2} \text{ м}$$

Принимаем  $h_3 = 10,6 \text{ см}$ ,  $h_4 = 5,3 \text{ см}$ .

Условие ЕЕ. Здесь имеют комбинация крутящих с изгибом в двух плоскостях. Так как сечение круглое, тогда можно учесть результирующий моментом  $M_{\text{изг}} = \sqrt{M_1^2 + M_2^2}$ . Основным будет сечение Е в начале:

$$M_{\text{изг}} = \sqrt{6^2 + 12,2^2} = 17,28 \text{ кН} \cdot \text{м}$$

По Е критерий прочности (см. формулу 2.8) рассчитаем значение эквивалентного момента

$$M_{\text{э}} = \sqrt{M_{\text{изг}}^2 + M_2^2} = \sqrt{17,28^2 + 5^2} = 18,0 \text{ кН} \cdot \text{м}$$

Расчетное напряжение, определенное формулой (2.10), должно удовлетворять условию прочности

$$\sigma_{\text{расч}} = \frac{M_{\text{э}}}{W} = \frac{58 M_{\text{э}}}{\pi d^3} \leq [\sigma]$$

откуда

$$d \geq \sqrt[3]{\frac{58 M_{\text{э}}}{\pi [\sigma]}} = \sqrt[3]{\frac{58 \cdot 18,0}{3,14 \cdot 100 \cdot 10^3}} = 40,96 \cdot 10^{-3} \text{ м}$$

Принимаем  $d = 10,6 \text{ см}$ .

Итак, размеры сечений элементов конструкции следующие:

АБ:  $h_1 = 4,5 \text{ см}$ ,  $h_2 = 2,25 \text{ см}$ ;

BC:  $h_3 = 4,5 \text{ см}$ ,  $h_4 = 2,25 \text{ см}$ ;

ДС:  $h_5 = 10,6 \text{ см}$ ,  $h_6 = 5,3 \text{ см}$ ;

ЕЕ:  $d = 10,6 \text{ см}$ .

## О Г Л А В Л Е Н И Е

1. Энергетические способы определения перемещений ....	3
1.1. Потенциальная энергия упругой деформации отверия. Теорема Кастелляно .....	3
1.2. Определение перемещений точек, в которых не применены внешние силы .....	12
1.3. Метод Мора .....	18
1.4. Способ Бирцагана .....	24
2. Способы определения отклонений .....	31
2.1. Косой метод .....	32
2.2. Внецентренное растяжение или сжатие. Растя- жение или сжатие в косой .....	41
2.3. Кручение и метод .....	46